



ICEPP
The University of Tokyo

グラフニューラルネットワーク を用いた事象選別

解析技術 + ILC懇談会 (第一回勉強会) @ ONLINE

2021 / 7 / 20

東京大学素粒子物理国際研究センター (ICEPP)

齊藤真彦

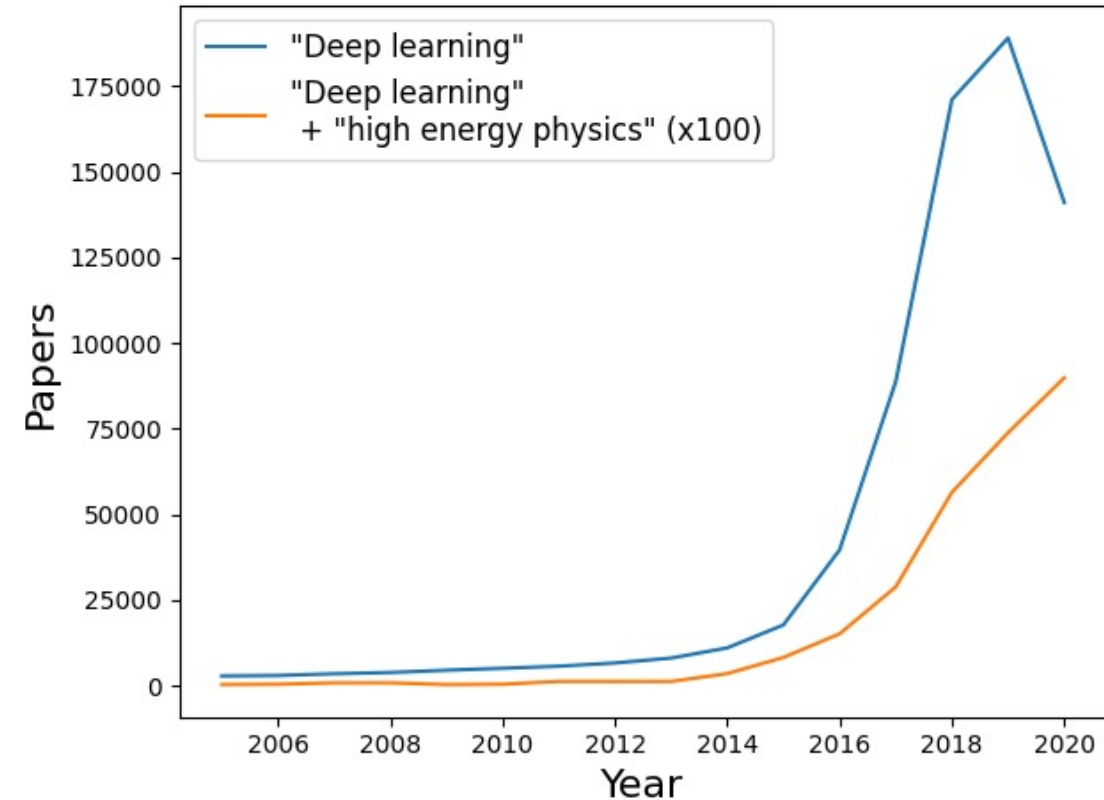
Outline

- グラフニューラルネットワークとは何か？
 - 代表的な深層学習モデルとの対比
 - 具体的な計算方法
- グラフニューラルネットワークを用いたイベント分類
- グラフニューラルネットワークを使った他の研究例

HEPと深層学習

- 深層学習のブームは継続中
- 高エネルギー分野においても応用例が増加し続けている
 - [HEPML-LivingReview](#): ~ 500 papers
- 様々なタイプの深層学習モデルが提案されている。

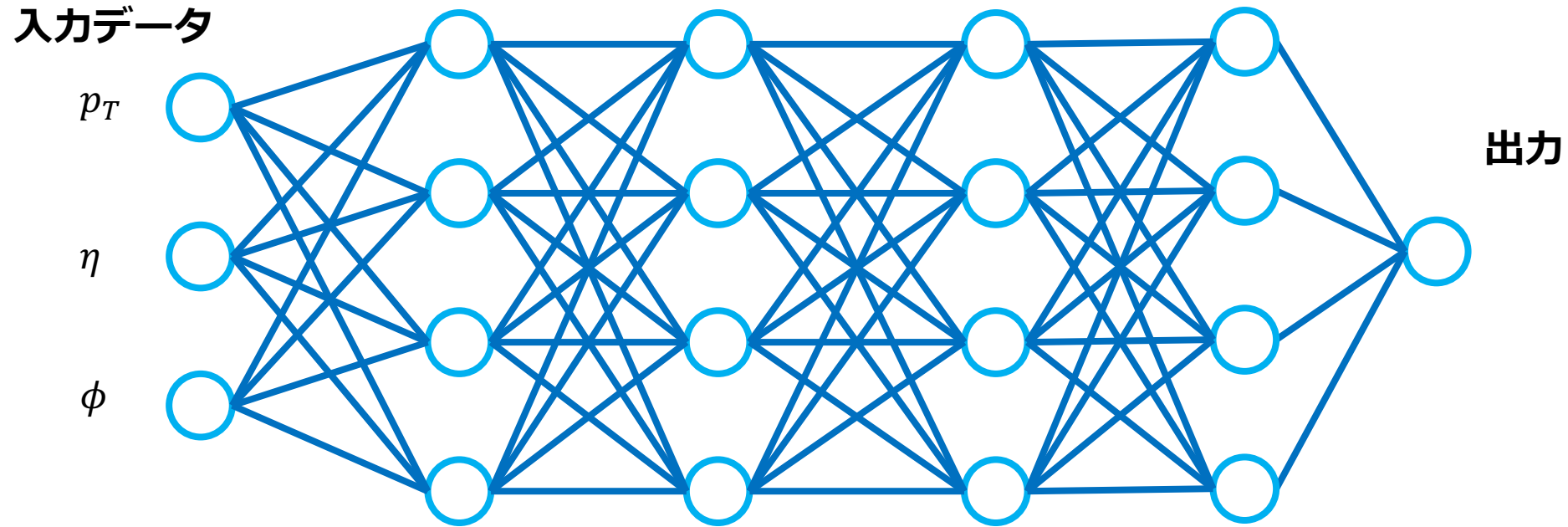
Google Scholarでのキーワード検索結果



代表的な深層学習モデル

Multi-layer perceptron (MLP)

- Fully Connected (FC), Deep neural network (DNN), Dense と呼ばれる

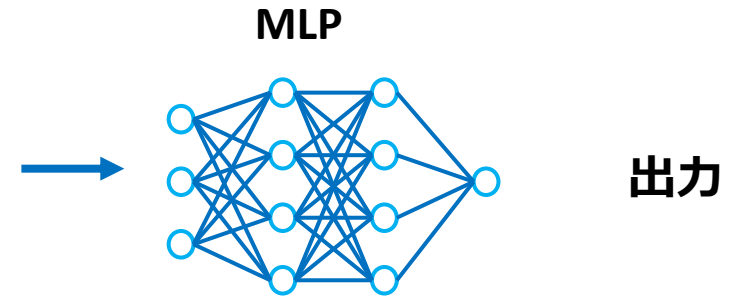
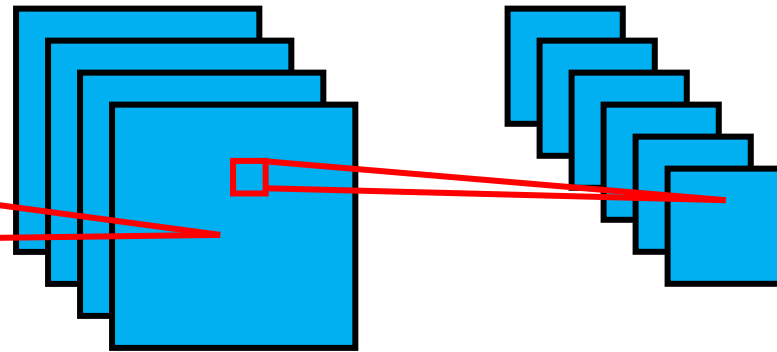
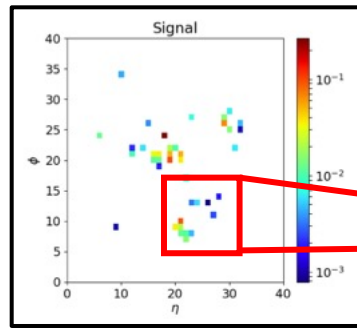


- 最も基本的な深層学習モデル
- 全てのノードを結合させている
 - 強力な表現(近似)能力
 - 非常に多くのパラメータが必要
- 高レベルの特徴量を入力とすることもありますが、より低次元な入力でも良い性能ができる

代表的な深層学習モデル

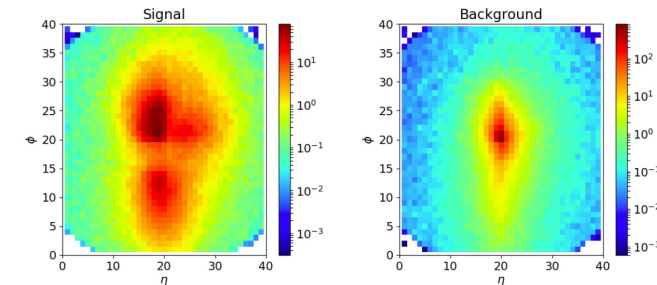
Convolutional neural network (CNN)

入力データ



- 画像認識で用いられる深層学習モデル
- 小さいフィルターで畳み込み積分をすることで
 - 平行移動に対して頑健
 - 近隣ピクセル同士の関係を効率良く学習
- 例: カロリメータでのエネルギー分布を画像としてCNNで処理

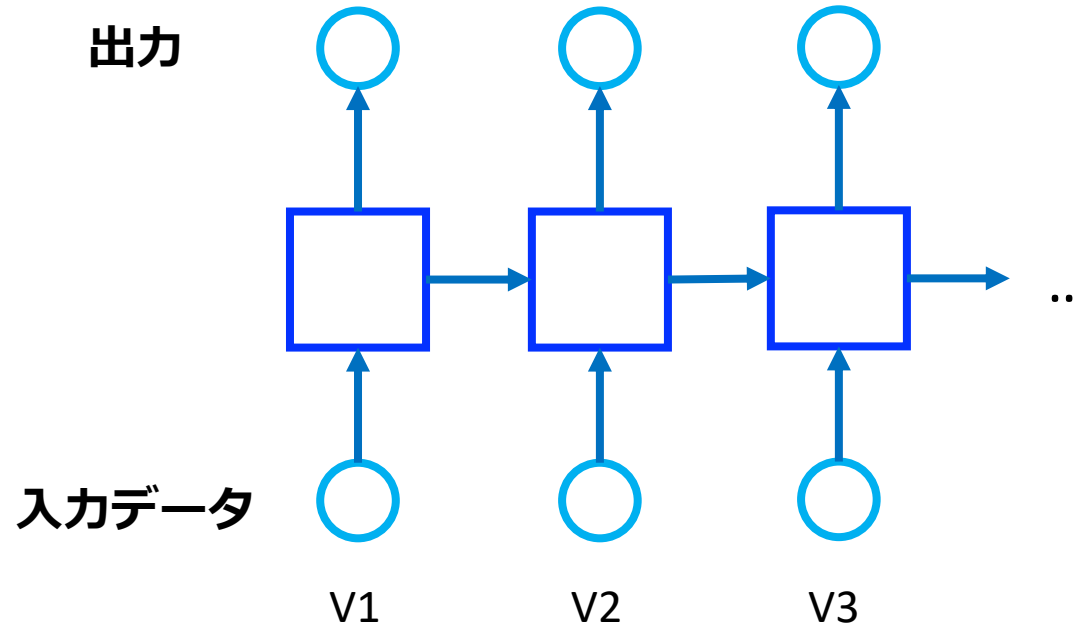
Top-tagging
([SciPost Phys, 7, 014 \(2019\)](#))



代表的な深層学習モデル

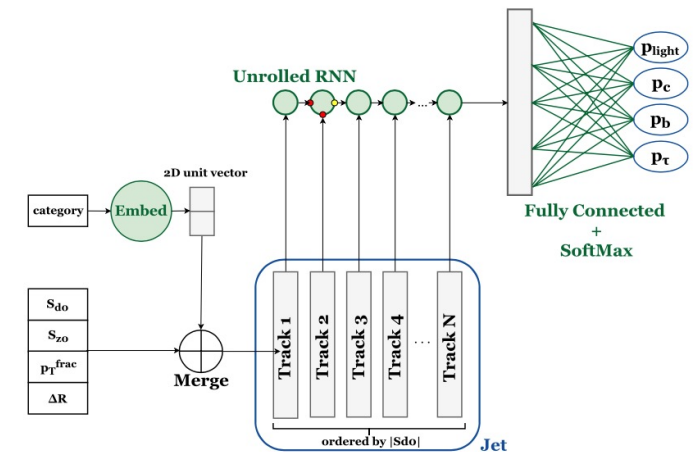
Recurrent neural network (RNN)

- LSTM, GRU が有名



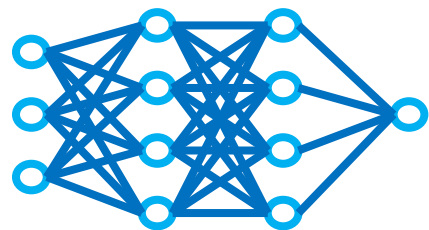
- 時系列データや自然言語処理でよく用いられる
- 出力を再帰的に扱うことにより、
 - 系列データ・可変な入力を扱える
- 例: ジェット中のトラックなど、入力変数の数が変化するものに適用

RNN b-tagging ([ATL-PHYS-PUB-2017-003](#))



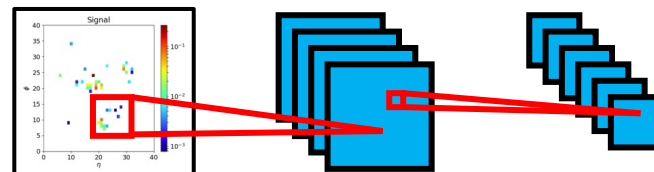
代表的な深層学習モデル

Multilayer Perceptron(MLP)



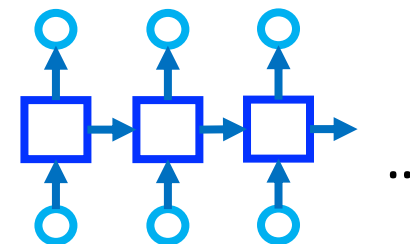
- 1次元データ
- 全変数の相関

Convolutional NN (CNN)



- グリッド状データ
- 局所的な相関
- 位置の異なるデータに同じ操作

Recurrent NN(RNN)



- 系列データ
- 時間的な相関
- 時間軸の異なるデータに同じ操作

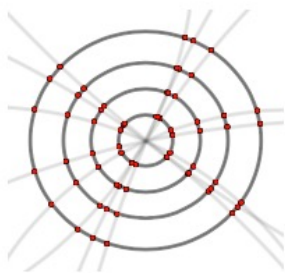
Q: どのような深層学習モデルを使うべきか？

A: 深層学習モデルの構造は、対象とするタスクの構造(ドメイン知識)を反映させるのが良い

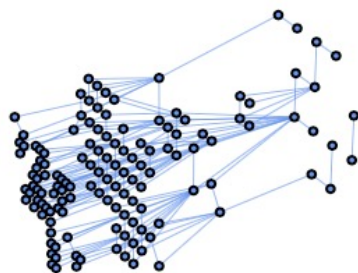
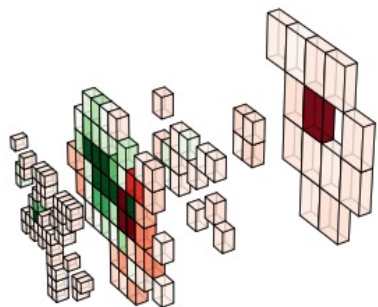
- モデルパラメータの削減、過学習の抑制
- HEPで扱う使うデータの構造は、**グラフ** と相性が良いことがある

HEPにおけるグラフ構造

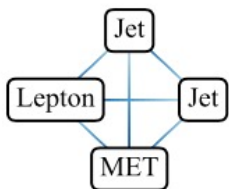
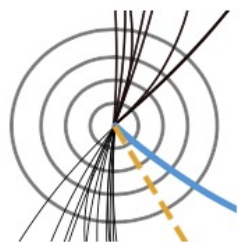
[2007.13681](#)



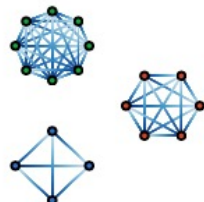
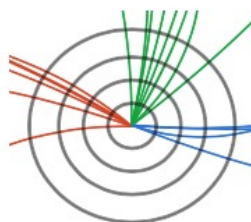
(a) Tracking



(b) Calorimeter clustering

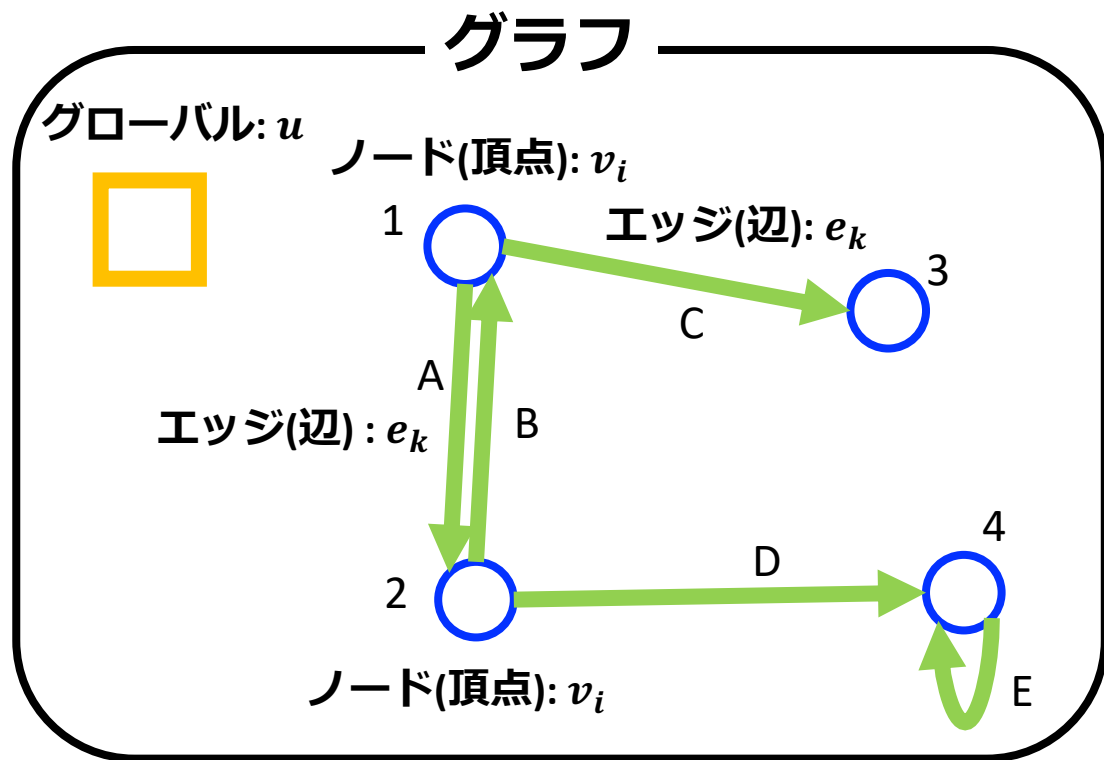


(c) Event classification

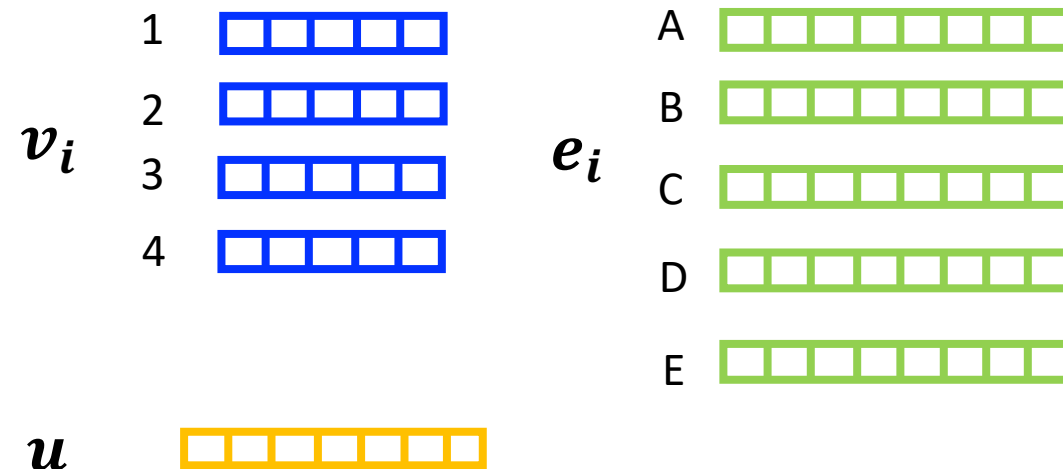


(d) Jet classification

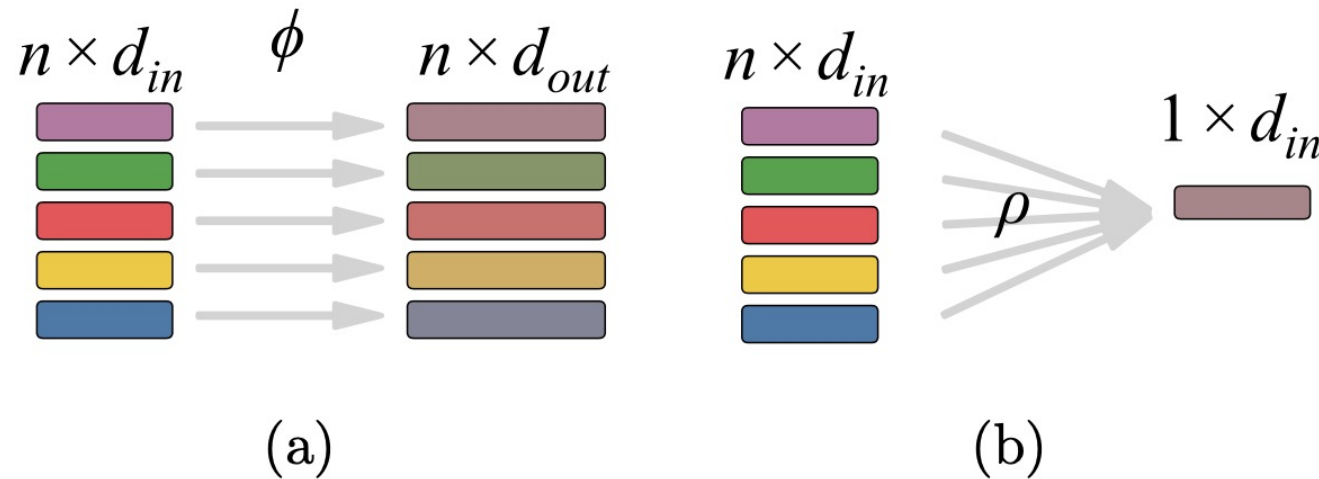
- グラフとして扱うと良いデータ構造の性質
 - 扱う対象の数が増える
 - 扱う対象に順序がない(集合)
 - モノ同士の関係性が定義できる
- グラフを入力として扱う深層学習モデルとして、**グラフニューラルネットワーク(GNN)**がある



ノード・エッジごとの特徴量

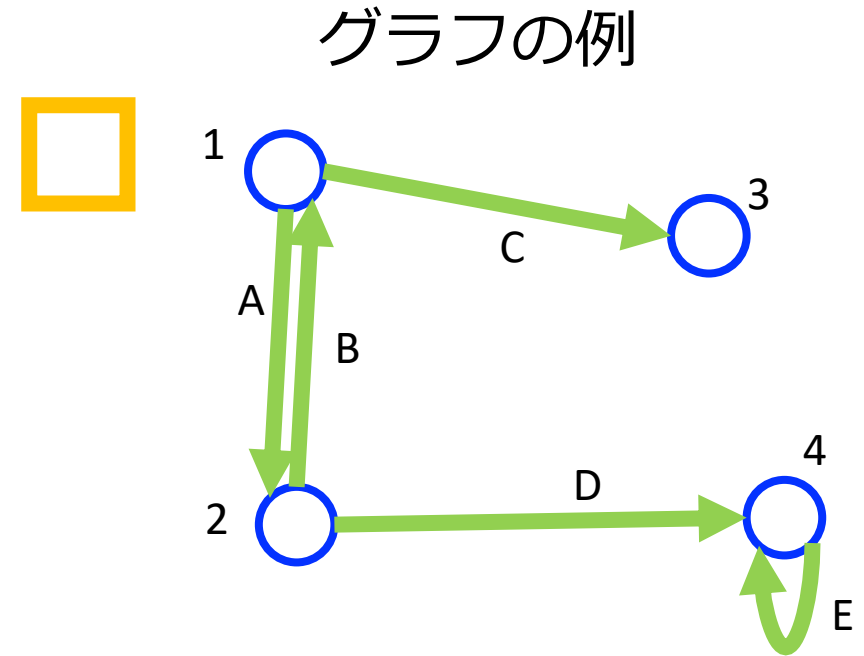
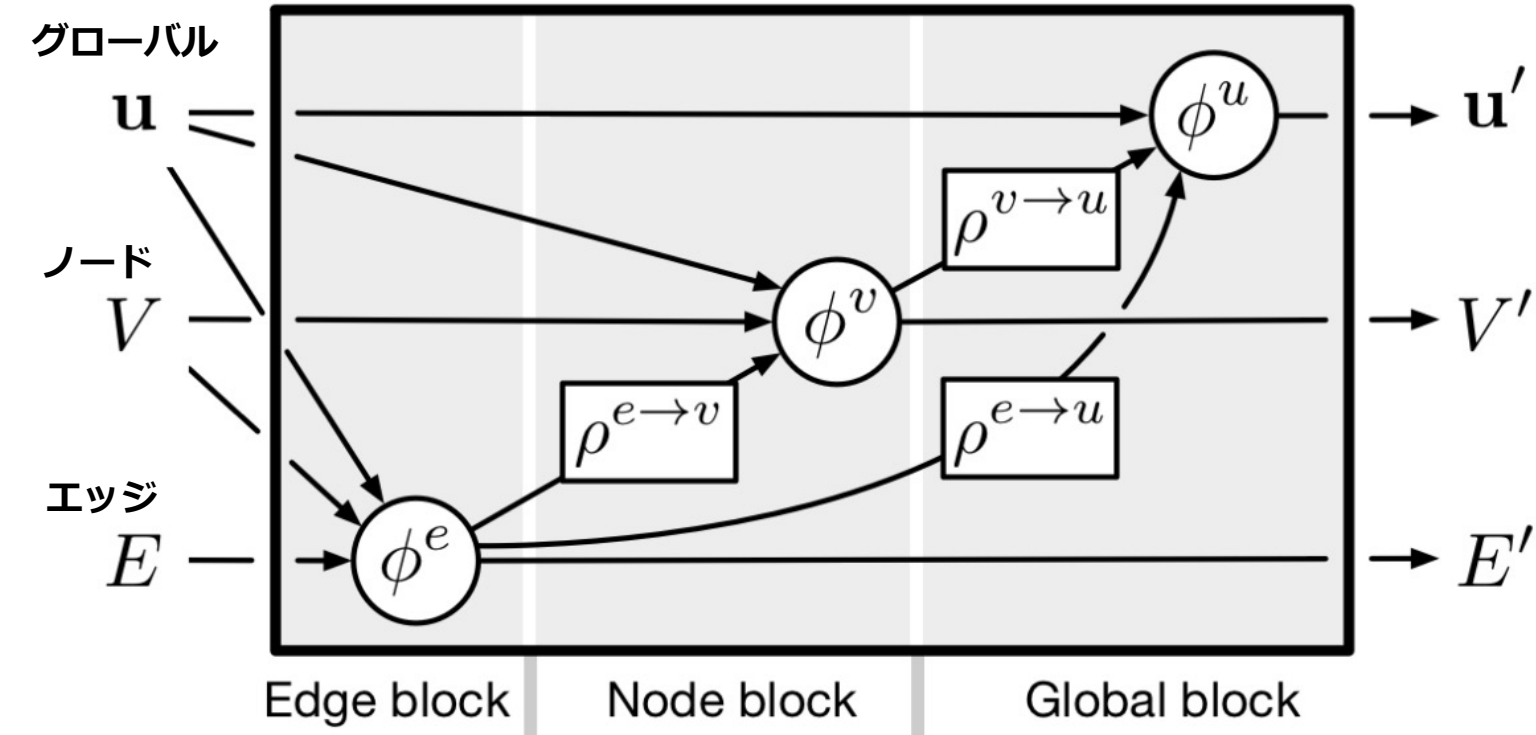


- グラフはノード(頂点)とエッジ(辺)から構成される
- それぞれのノード・エッジは特徴量(attributes)を持つ
- グラフ(ノード・エッジ)の特徴量を逐次的にアップデートすることで出力値を計算

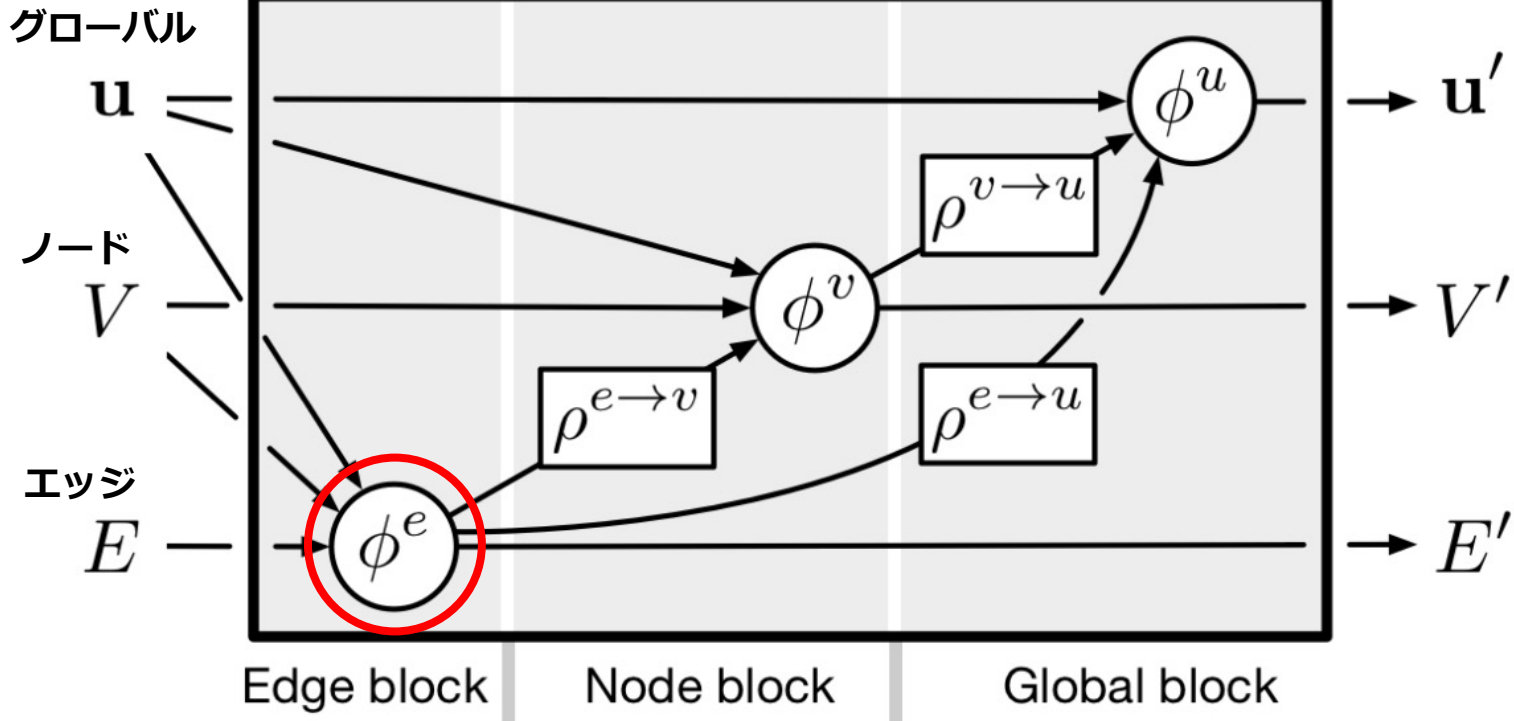


- Update function(ϕ):
 - ノード・エッジごとにattributeをアップデートする
 - 更新の関数としてはNN (MLP) がよく用いられる
- Aggregation function(ρ):
 - 隣接している or グラフ上のすべてのノード・エッジのattributeを集約する
 - 可変入力に対応できる関数である必要がある。
 - 例: sum, mean, max/min

グラフネットワーク具体的な計算方法 [1806.01261](#)

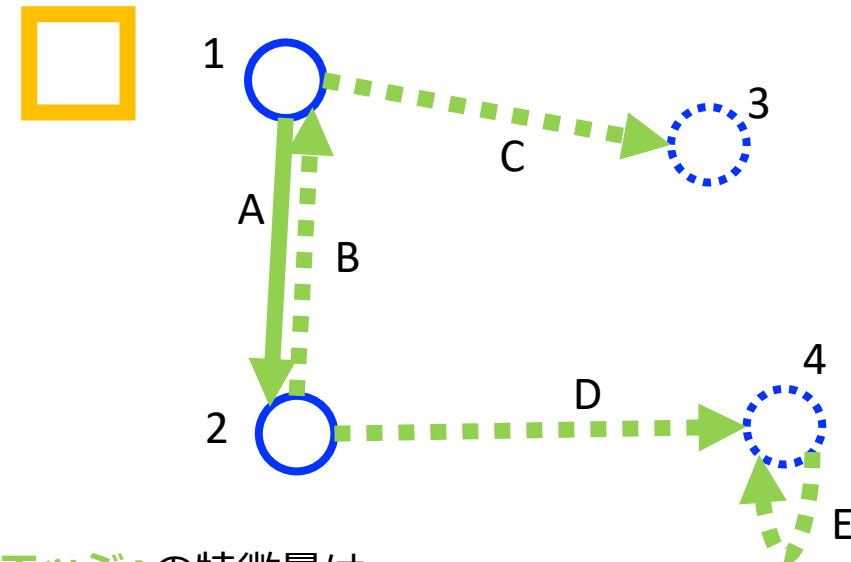


1. エッジの更新



$$e'_k = \phi^e(e_k, \mathbf{v}_{r_k}, \mathbf{v}_{s_k}, \mathbf{u})$$

グラフの例

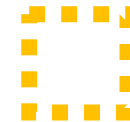
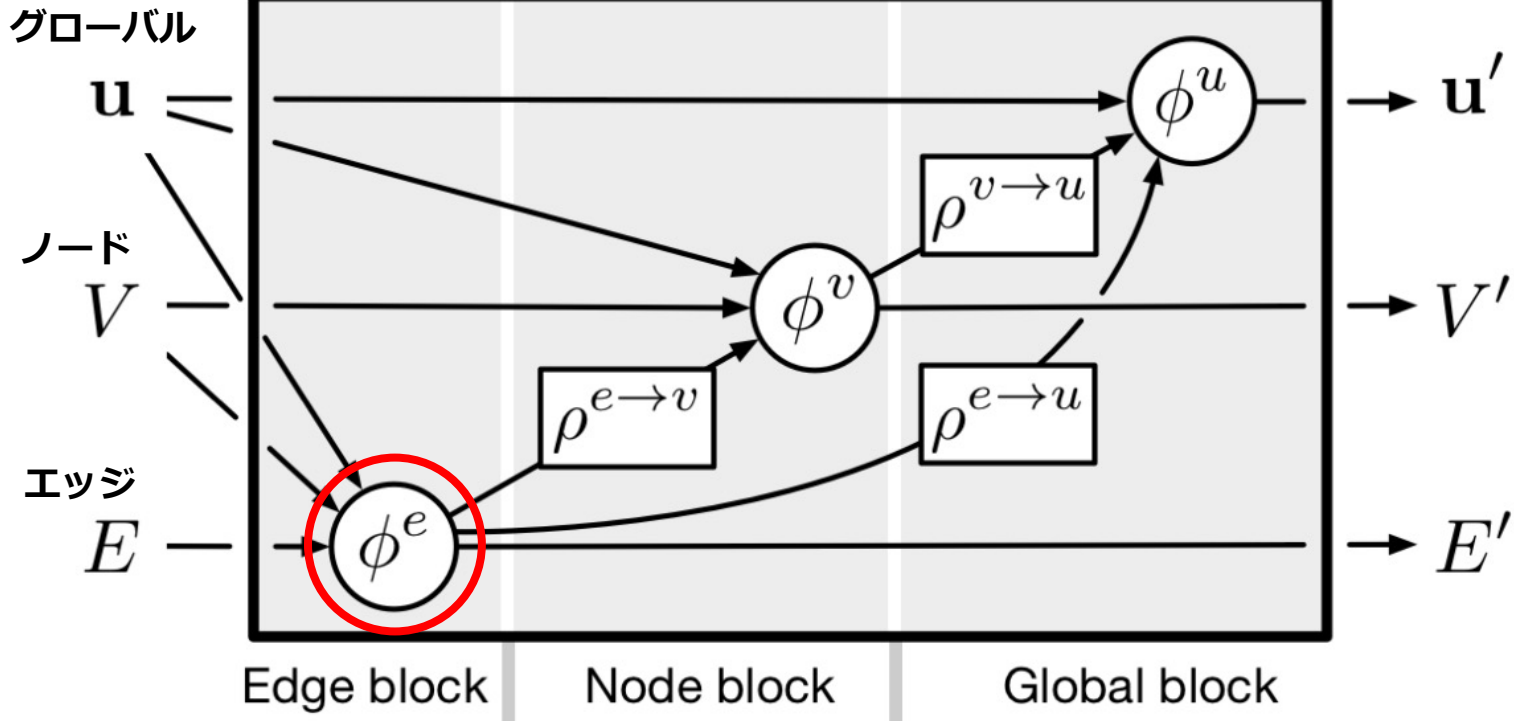


エッジAの特徴量は

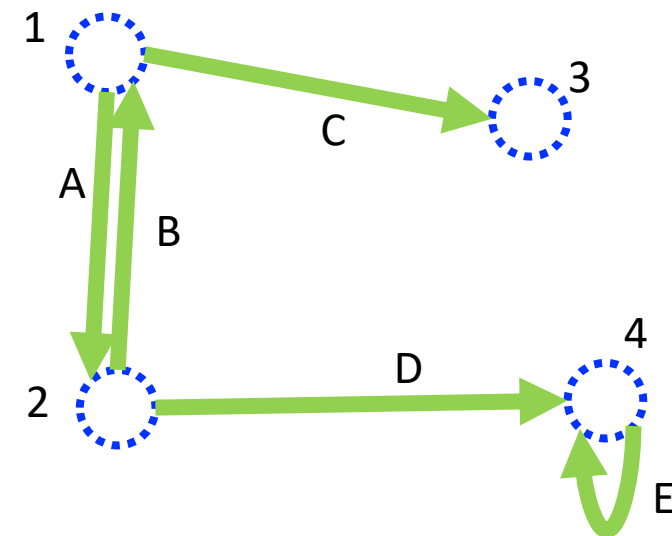
- エッジAの特徴量
- ノード1の特徴量
- ノード2の特徴量
- グローバル特徴量を用いて更新される

例: $e'_A = NN(\text{Concatenate}([e_A, v_1, v_2, u]))$

1. エッジの更新



グラフの例

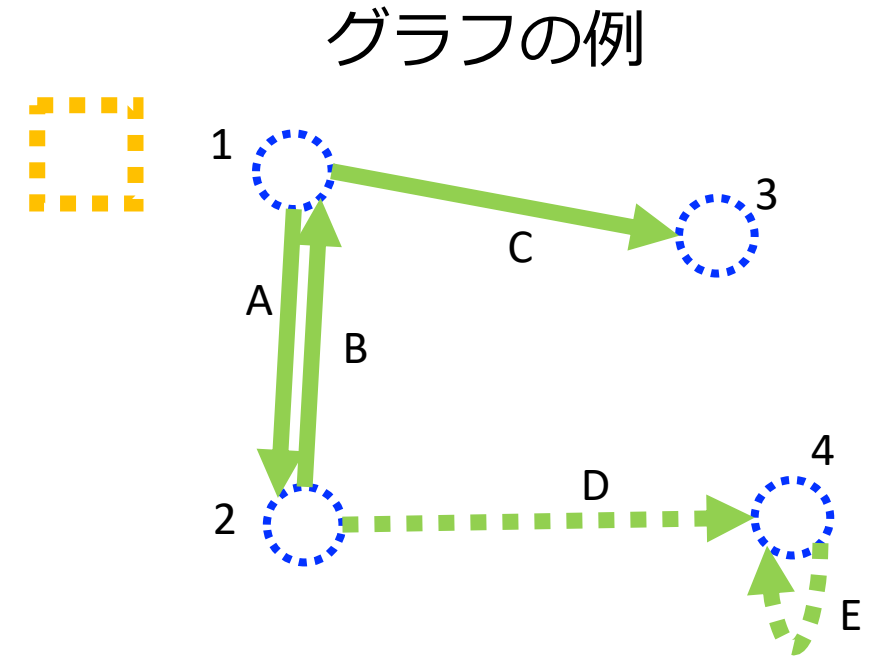
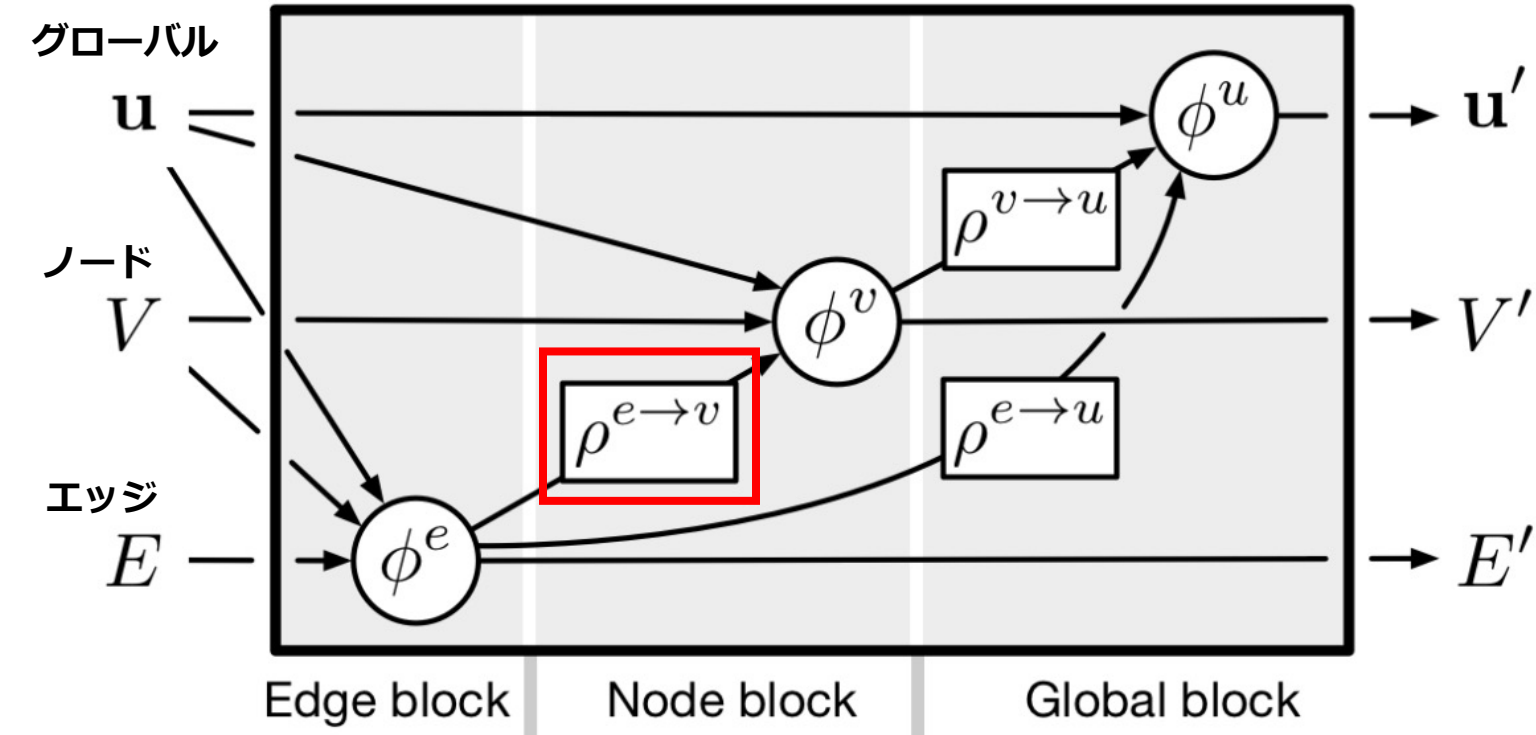


$$e'_k = \phi^e(e_k, \mathbf{v}_{r_k}, \mathbf{v}_{s_k}, \mathbf{u})$$

すべてのエッジは同様に更新される

例: $e'_k = NN(\text{Concatenate}([e_k, v_i, v_j, u]))$

2. ノードの更新



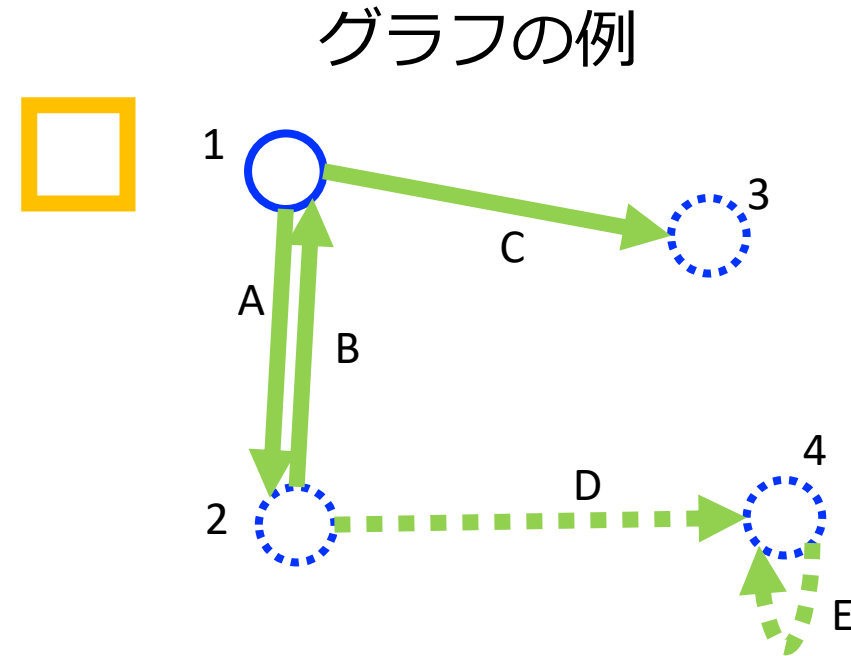
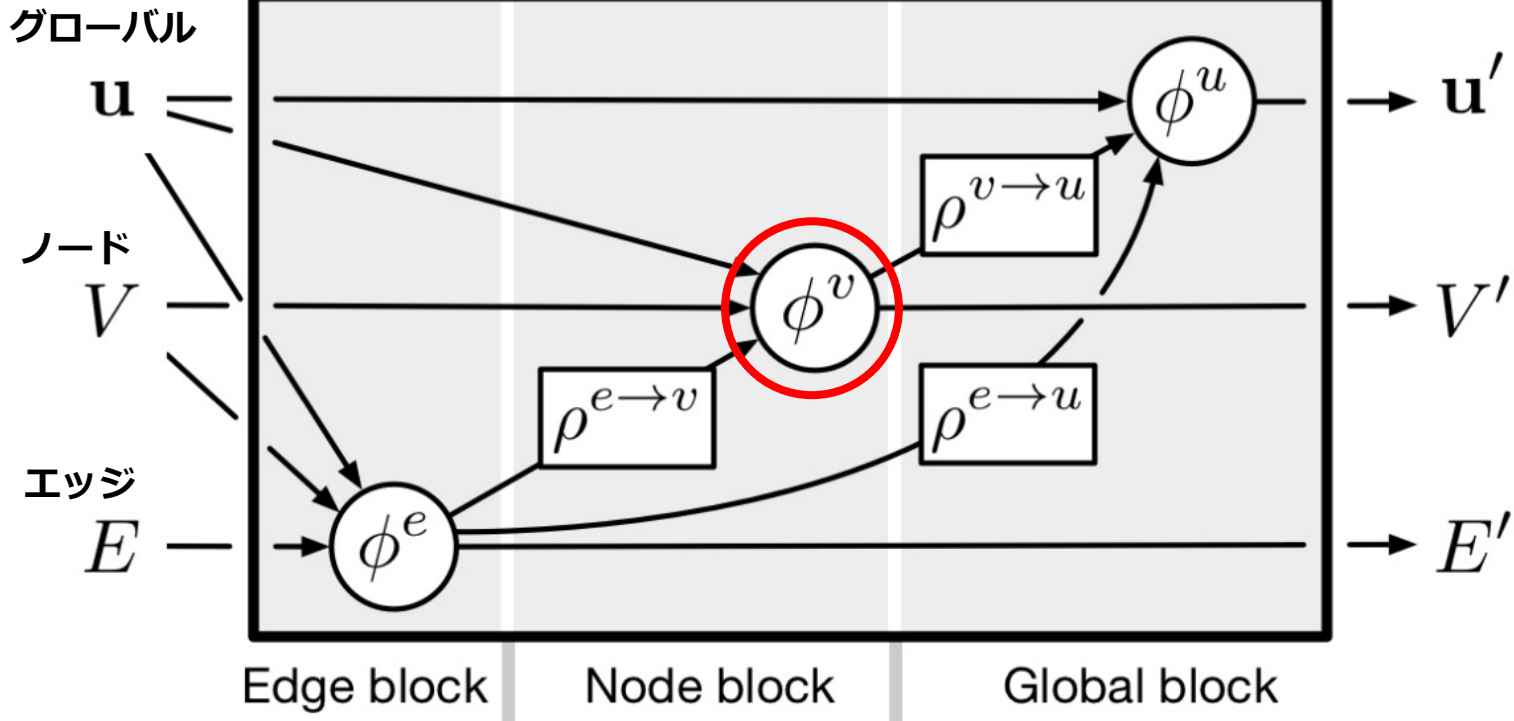
ノード1に隣接したエッジの特徴量を集約する

例: $\bar{e}'_1 = \text{Sum}([e_A, e_B, e_C])$

$$e'_k = \phi^e(e_k, \mathbf{v}_{r_k}, \mathbf{v}_{s_k}, \mathbf{u})$$

$$\bar{e}'_i = \rho^{e \rightarrow v}(E'_i)$$

2. ノードの更新



$$e'_k = \phi^e(e_k, \mathbf{v}_{r_k}, \mathbf{v}_{s_k}, \mathbf{u})$$

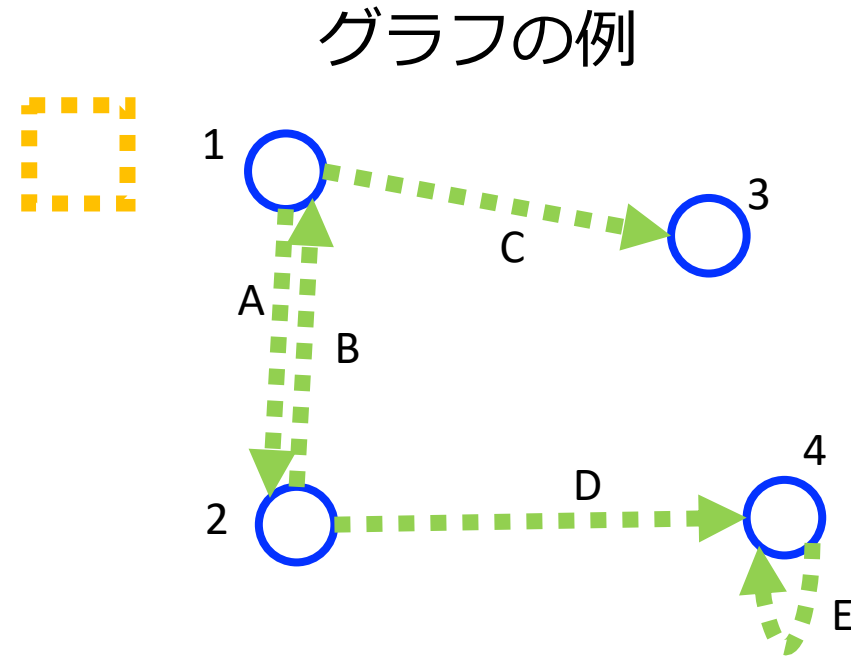
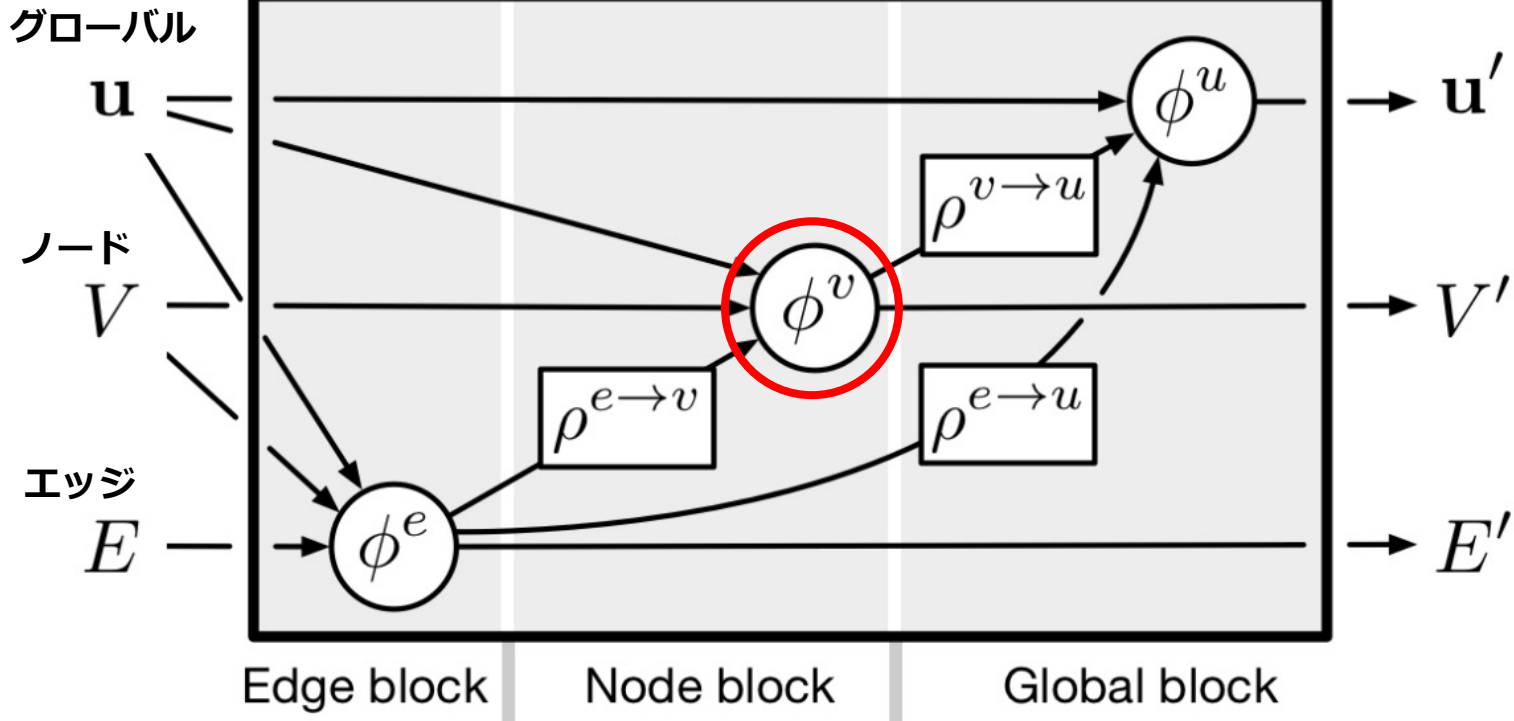
$$v'_i = \phi^v(\bar{e}'_i, \mathbf{v}_i, \mathbf{u})$$

$$\bar{e}'_i = \rho^{e \rightarrow v}(E'_i)$$

- ノード1の特徴量は
- ノード1の特徴量
 - 集約したエッジの特徴量
 - グローバル特徴量
- を用いて更新される

例: $v'_1 = NN(\text{Concatenate}([v_1, \bar{e}'_1, u]))$

2. ノードの更新



$$\mathbf{e}'_k = \phi^e(\mathbf{e}_k, \mathbf{v}_{r_k}, \mathbf{v}_{s_k}, \mathbf{u})$$

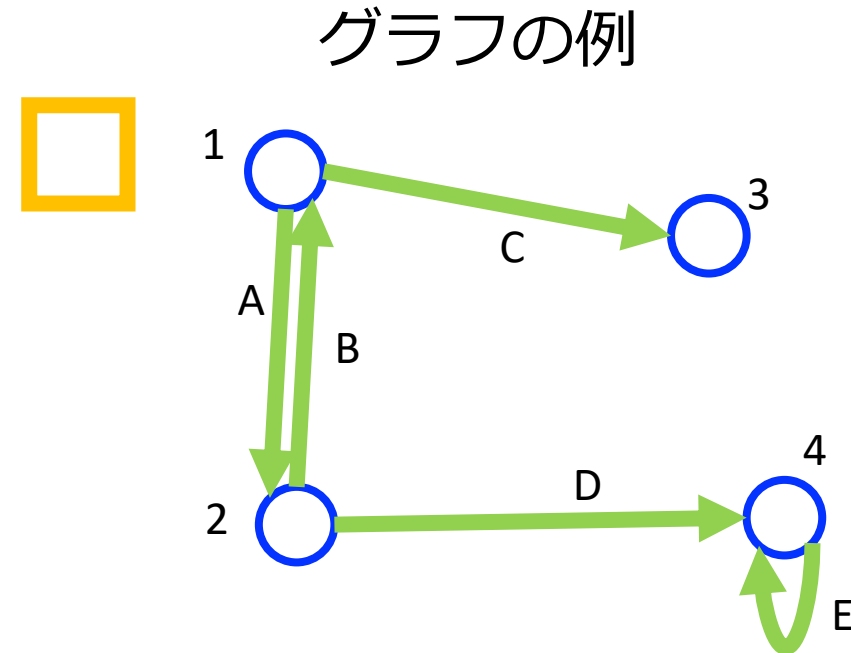
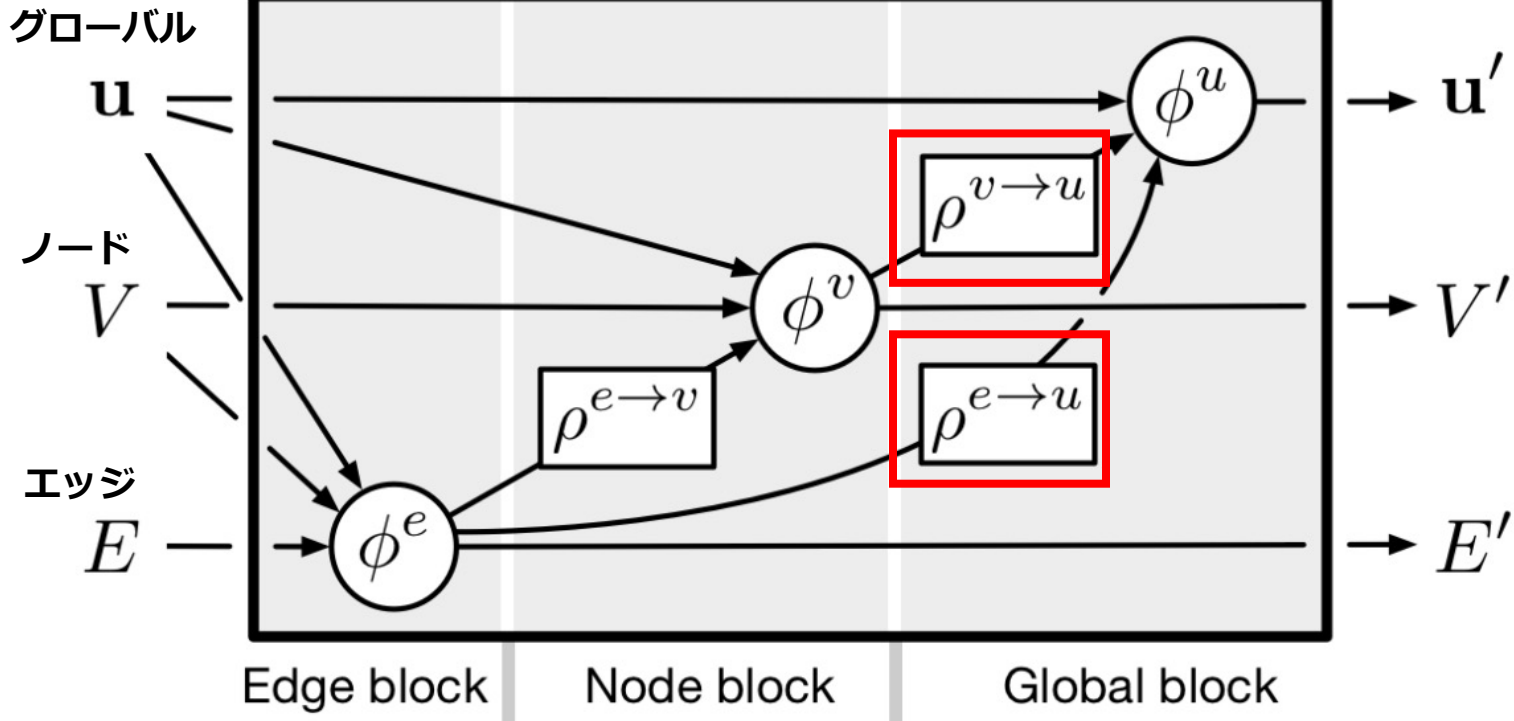
$$\bar{\mathbf{e}}'_i = \rho^{e \rightarrow v}(E'_i)$$

$$\mathbf{v}'_i = \phi^v(\bar{\mathbf{e}}'_i, \mathbf{v}_i, \mathbf{u})$$

すべてのノードは同様に更新される

例: $v'_1 = NN(\text{Concatenate}([v_1, \bar{e}'_1, u]))$

3. グローバルの更新



全てのノード・エッジの特徴量を集約する

$$\mathbf{e}'_k = \phi^e(\mathbf{e}_k, \mathbf{v}_{r_k}, \mathbf{v}_{s_k}, \mathbf{u})$$

$$\mathbf{v}'_i = \phi^v(\bar{\mathbf{e}}'_i, \mathbf{v}_i, \mathbf{u})$$

$$\bar{\mathbf{e}}'_i = \rho^{e \rightarrow v}(E'_i)$$

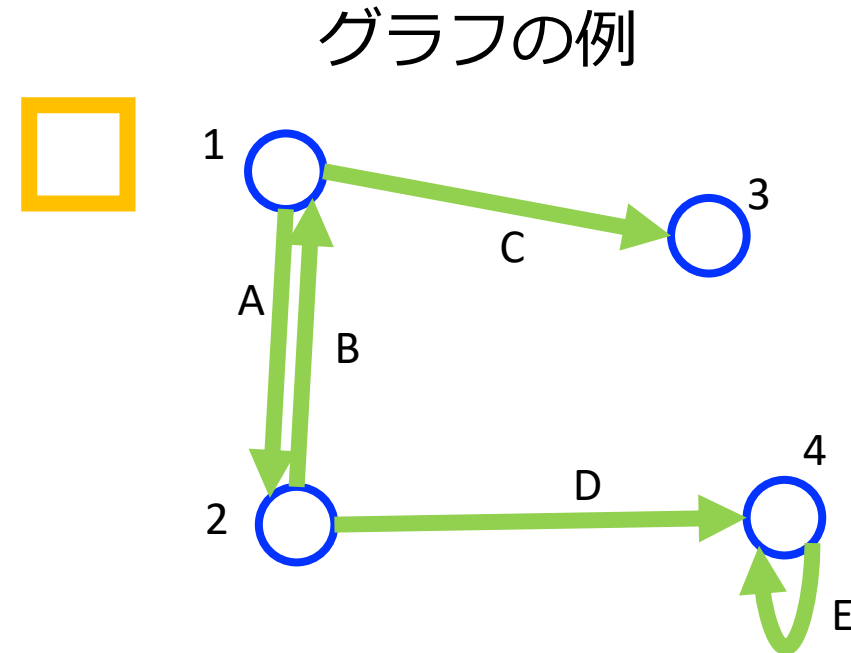
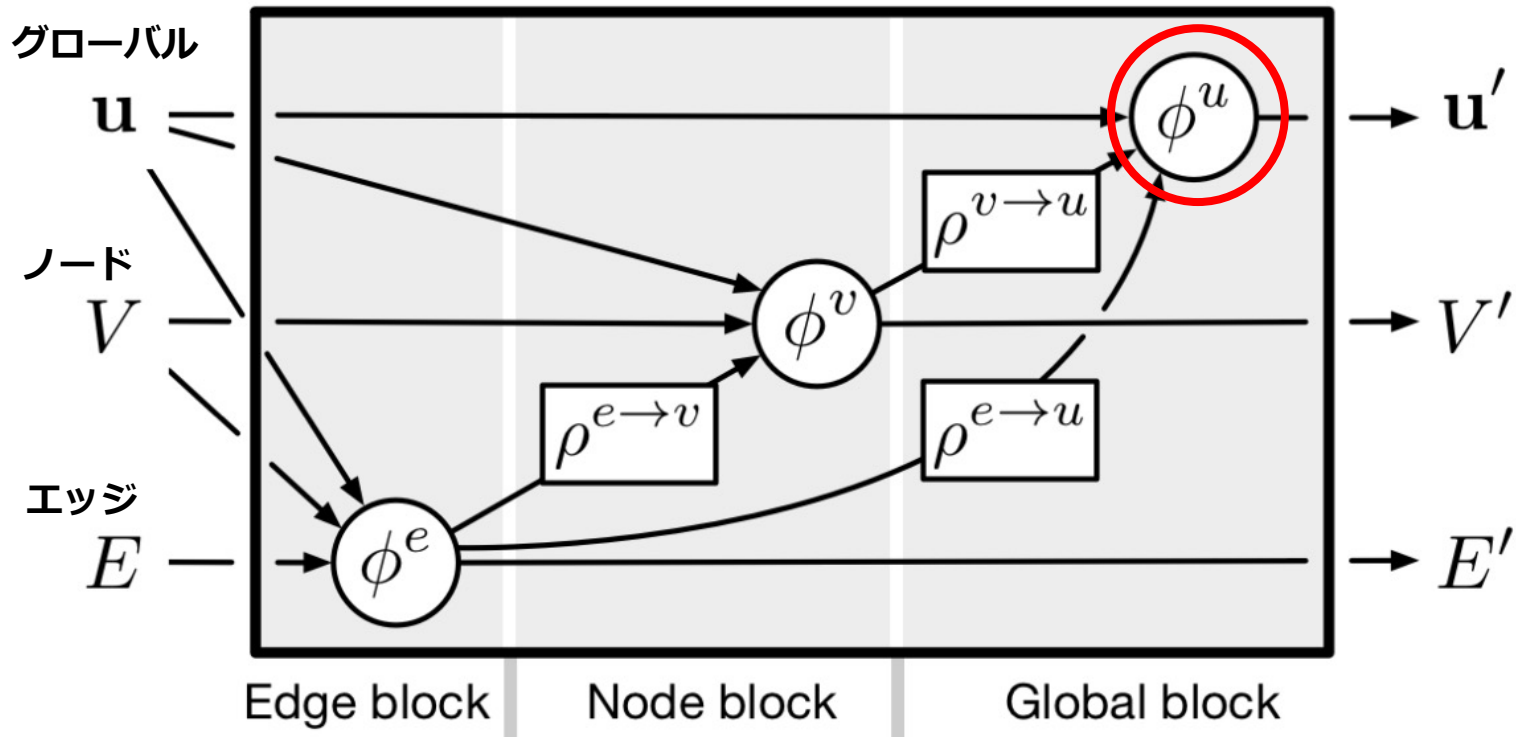
$$\bar{\mathbf{e}}' = \rho^{e \rightarrow u}(E')$$

$$\bar{\mathbf{v}}' = \rho^{v \rightarrow u}(V')$$

例: $\bar{\mathbf{e}}' = \text{Sum}([e_A, e_B, e_C, e_D, e_E])$

例: $\bar{\mathbf{v}}' = \text{Sum}([v_1, v_2, v_3, v_4])$

3. グローバルの更新



$$e'_k = \phi^e(e_k, \mathbf{v}_{r_k}, \mathbf{v}_{s_k}, \mathbf{u})$$

$$v'_i = \phi^v(\bar{e}'_i, \mathbf{v}_i, \mathbf{u})$$

$$u' = \phi^u(\bar{e}', \bar{v}', \mathbf{u})$$

$$\bar{e}'_i = \rho^{e \rightarrow v}(E'_i)$$

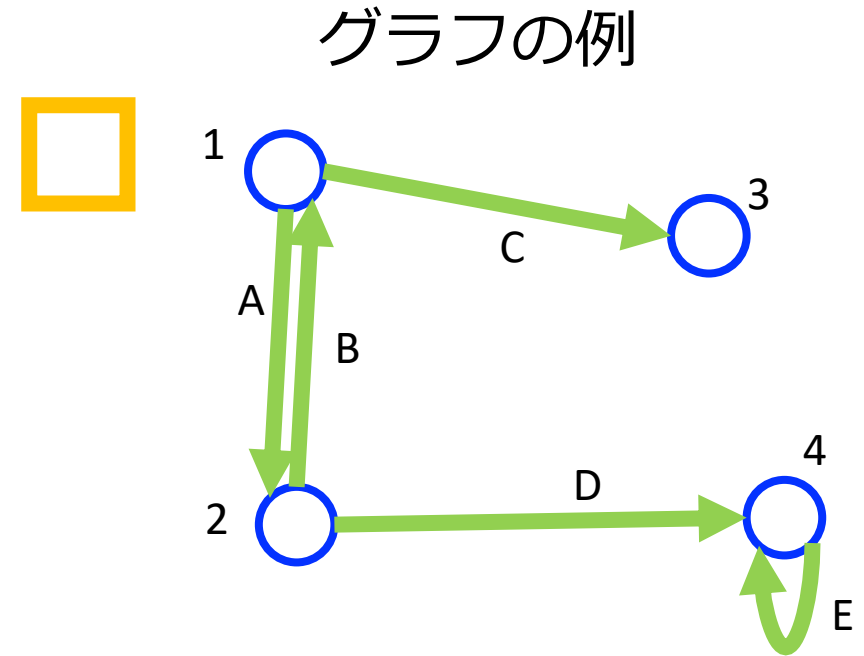
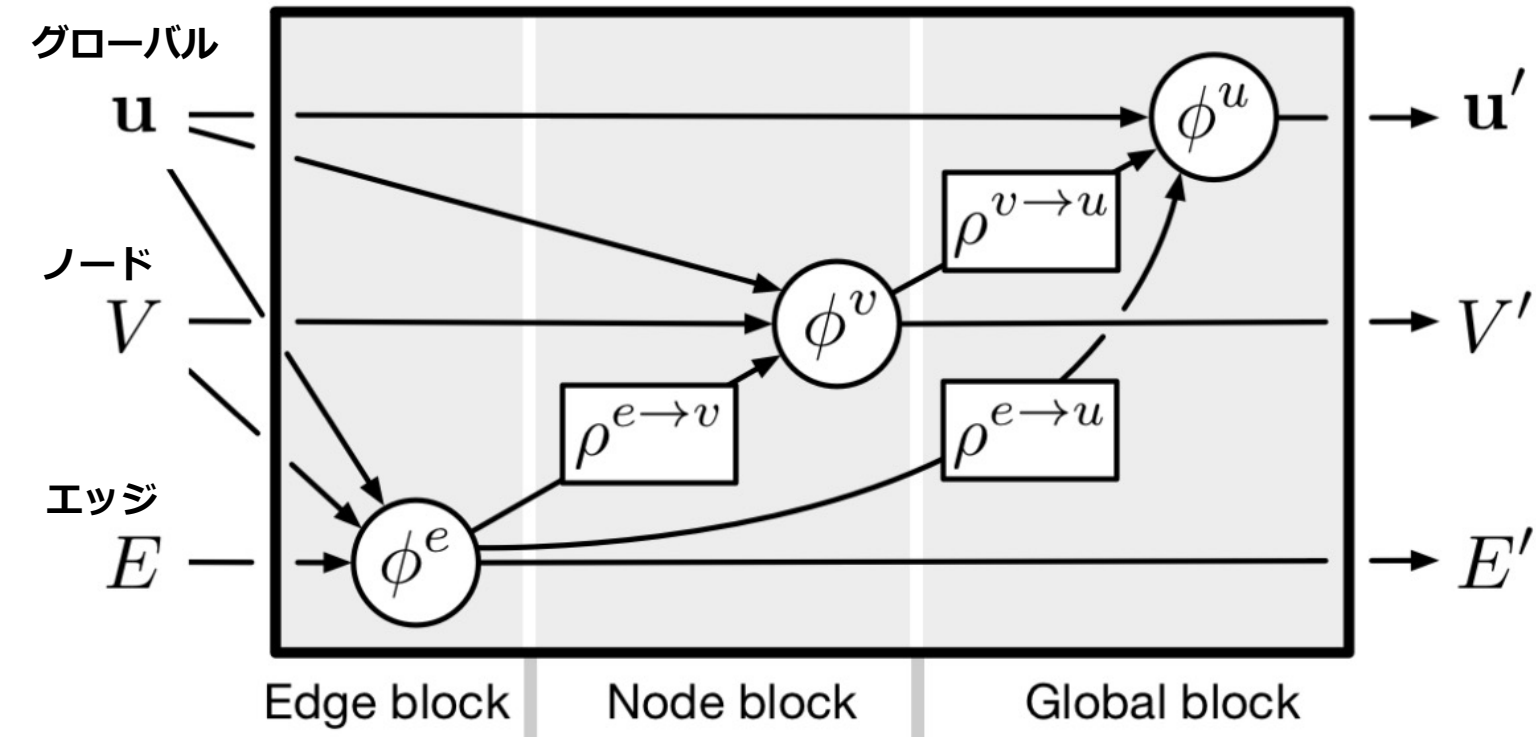
$$\bar{e}' = \rho^{e \rightarrow u}(E')$$

$$\bar{v}' = \rho^{v \rightarrow u}(V')$$

グローバルの特徴量は

- 集約したノードの特徴量
 - 集約したエッジの特徴量
 - グローバル特徴量
- を用いて更新される

例: $u' = NN(\text{Concatenate}([\bar{v}', \bar{e}', u]))$



この操作を何度も繰り返す
(繰り返さないこともある)

$$\mathbf{e}'_k = \phi^e(\mathbf{e}_k, \mathbf{v}_{r_k}, \mathbf{v}_{s_k}, \mathbf{u})$$

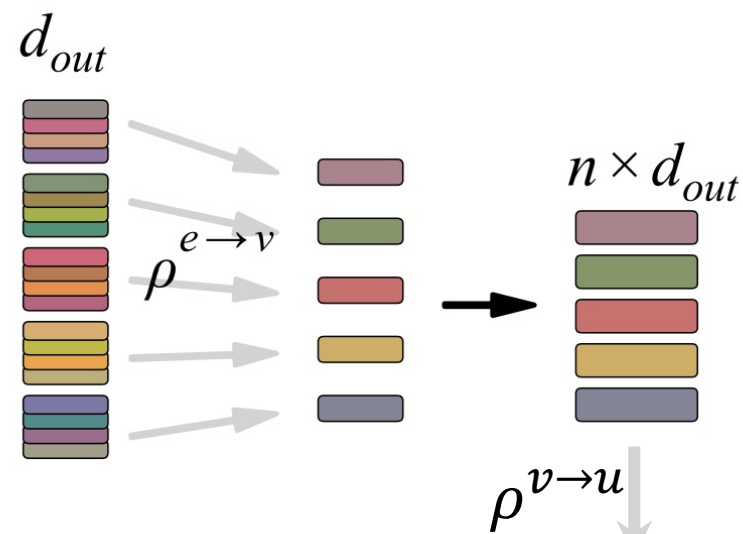
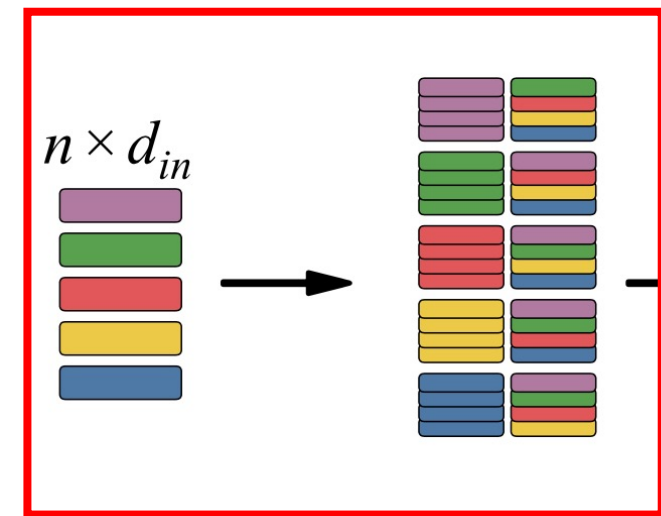
$$\mathbf{v}'_i = \phi^v(\bar{\mathbf{e}}'_i, \mathbf{v}_i, \mathbf{u})$$

$$\mathbf{u}' = \phi^u(\bar{\mathbf{e}}', \bar{\mathbf{v}}', \mathbf{u})$$

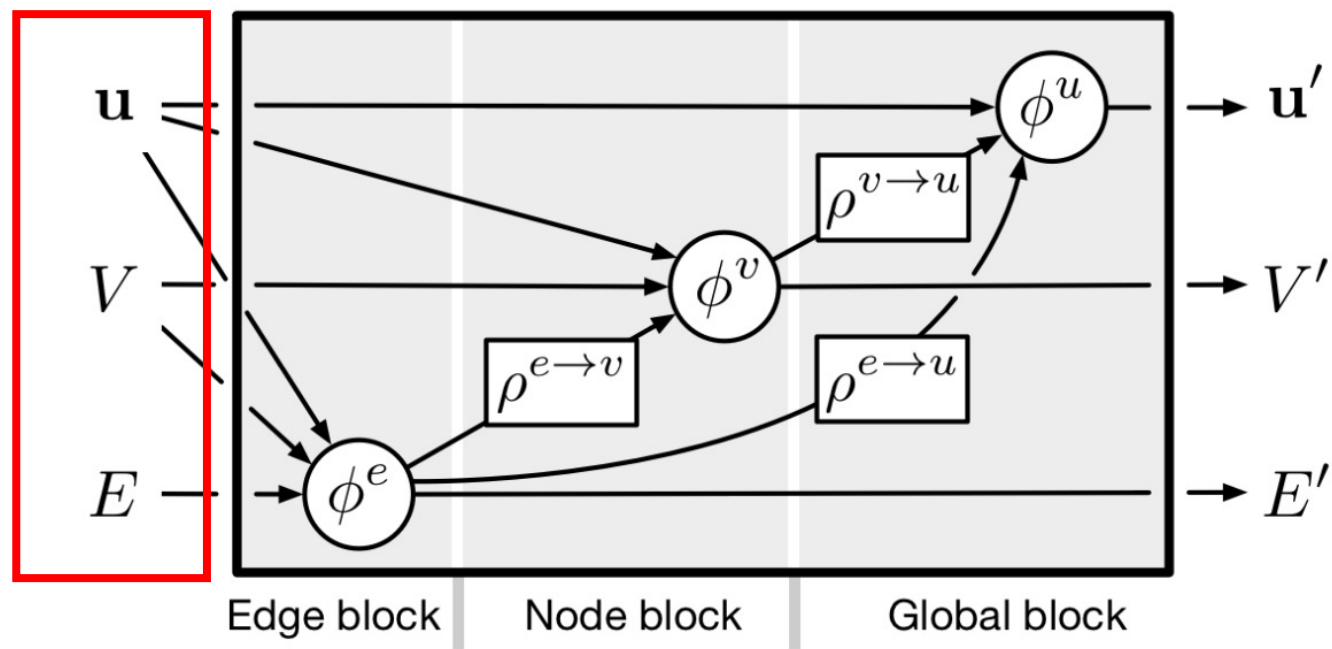
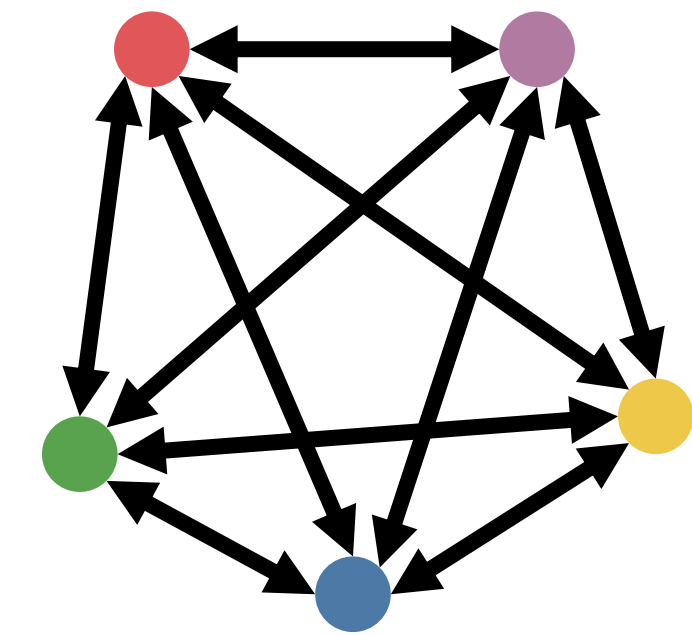
$$\bar{\mathbf{e}}'_i = \rho^{e \rightarrow v}(E'_i)$$

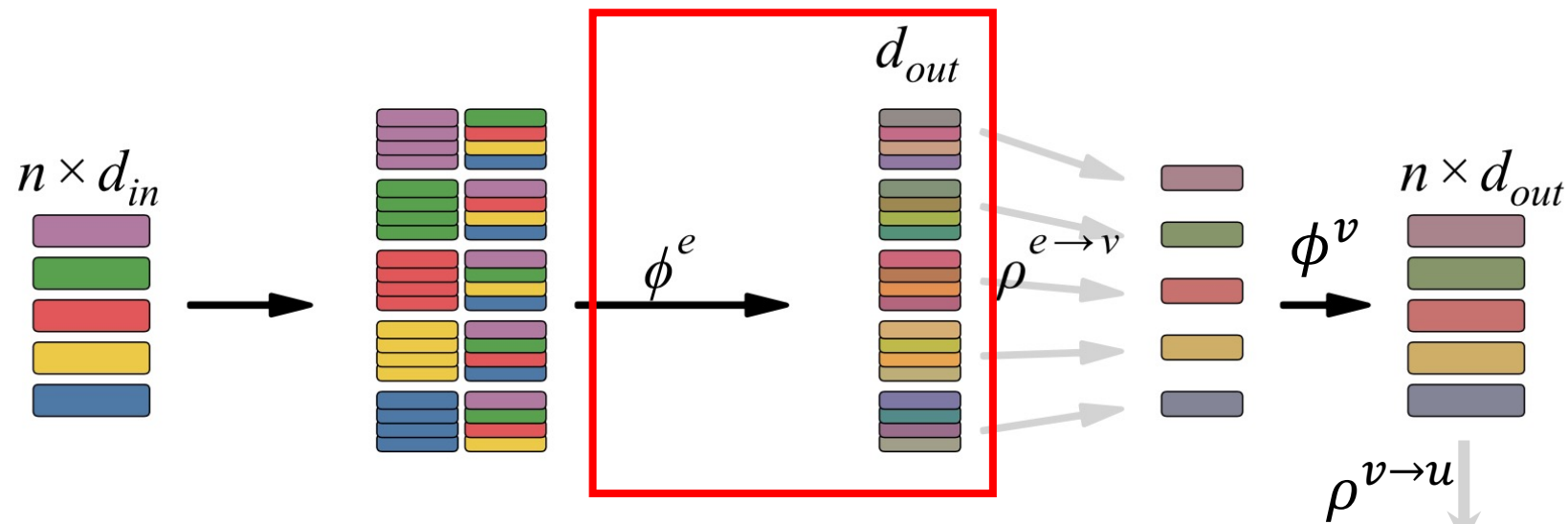
$$\bar{\mathbf{e}}' = \rho^{e \rightarrow u}(E')$$

$$\bar{\mathbf{v}}' = \rho^{v \rightarrow u}(V')$$

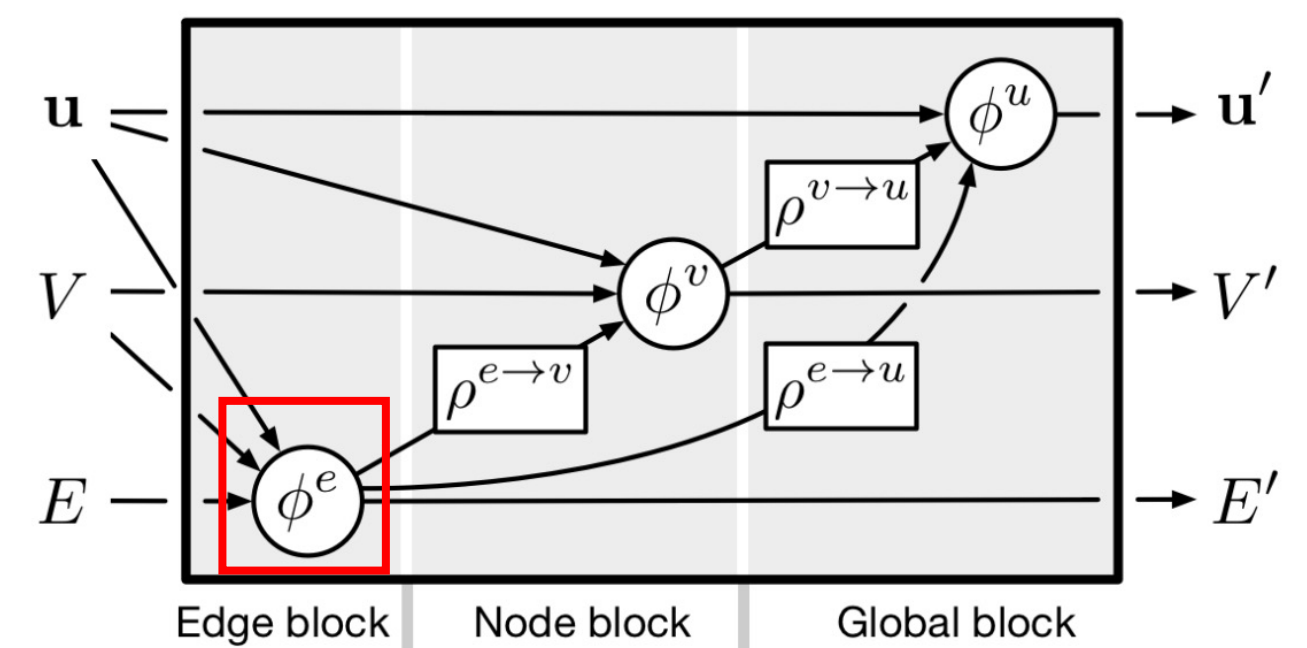
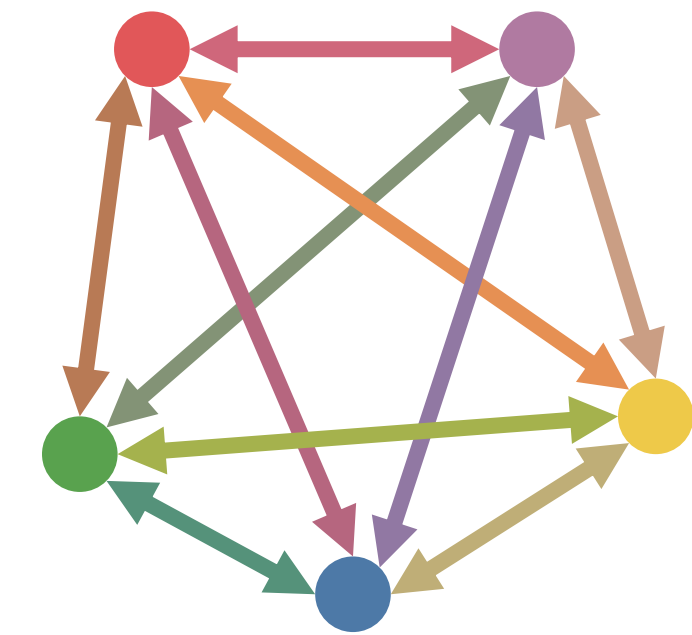


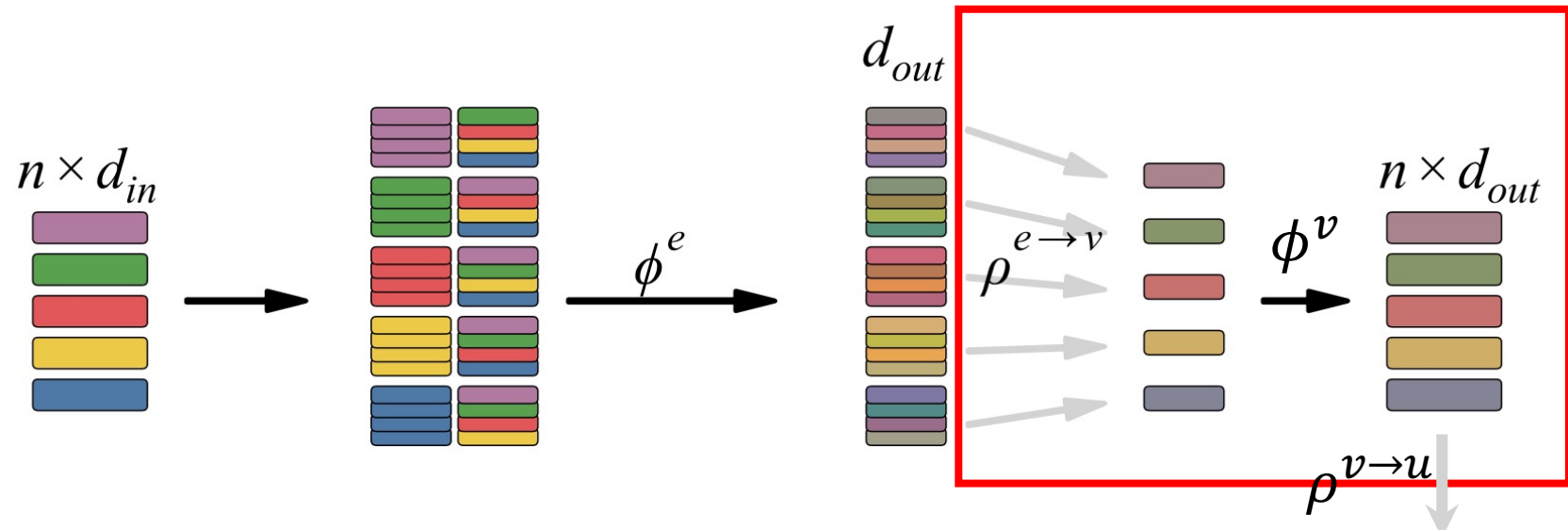
グラフの例



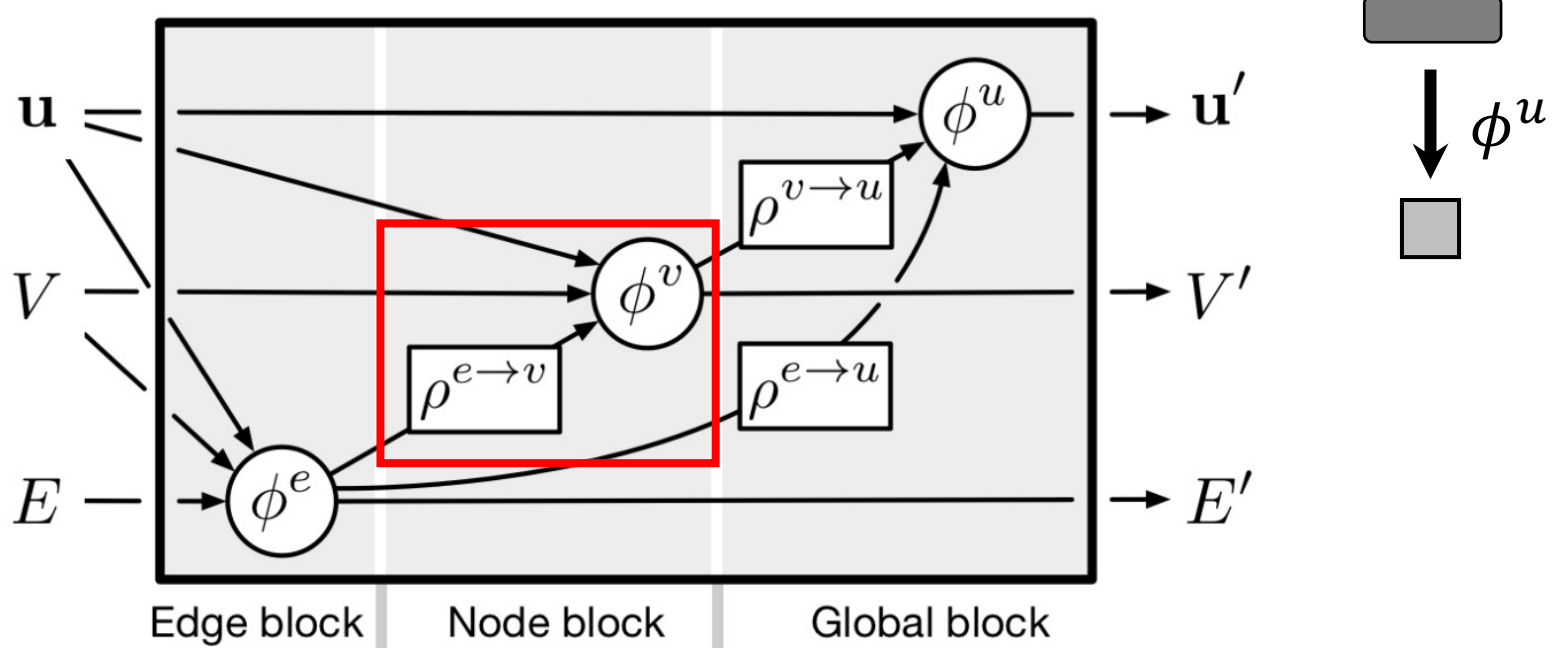
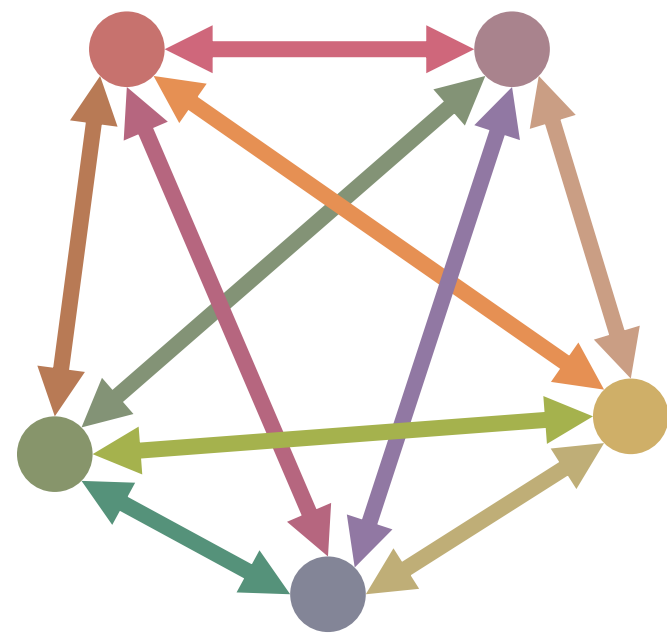


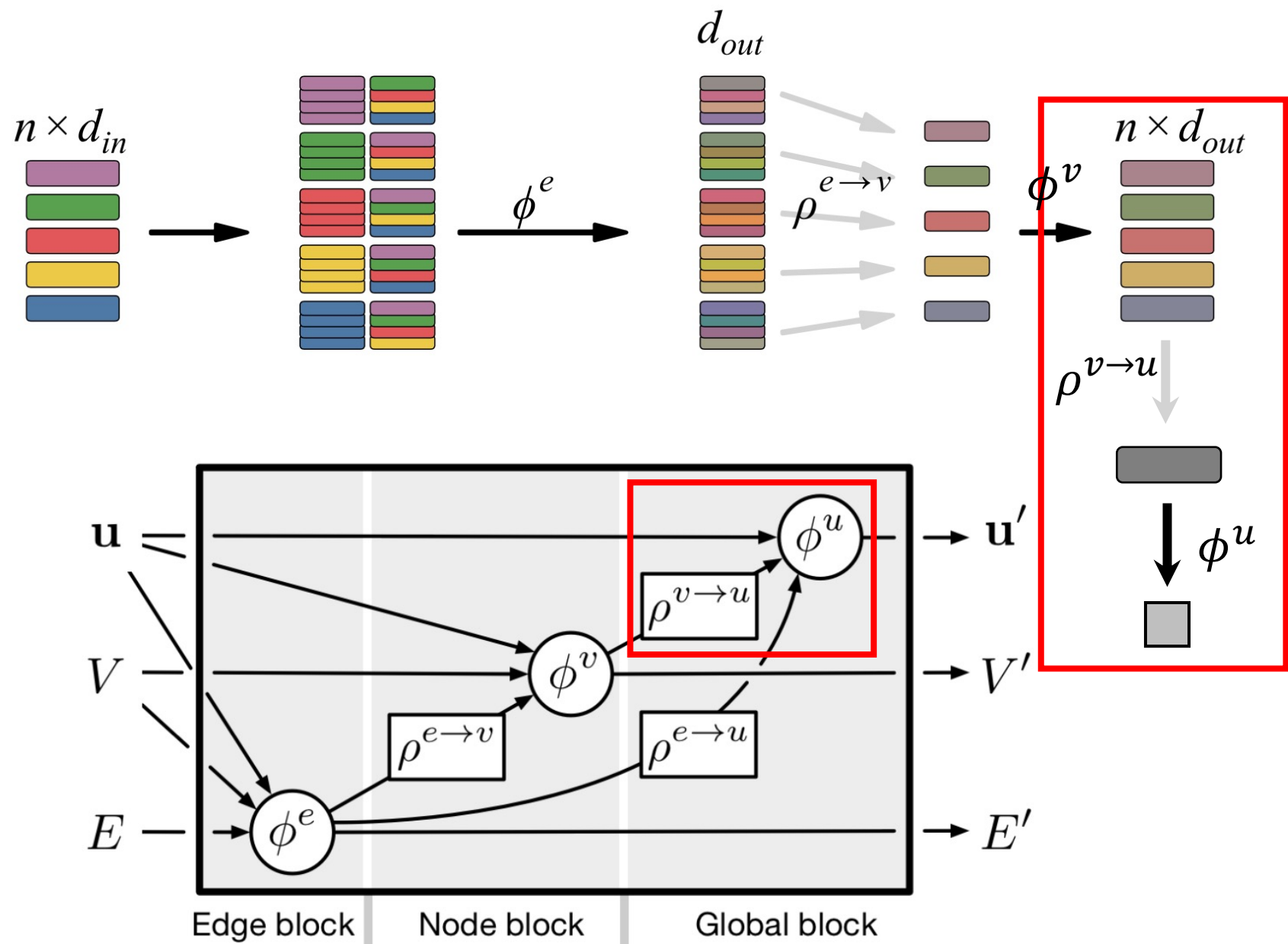
グラフの例



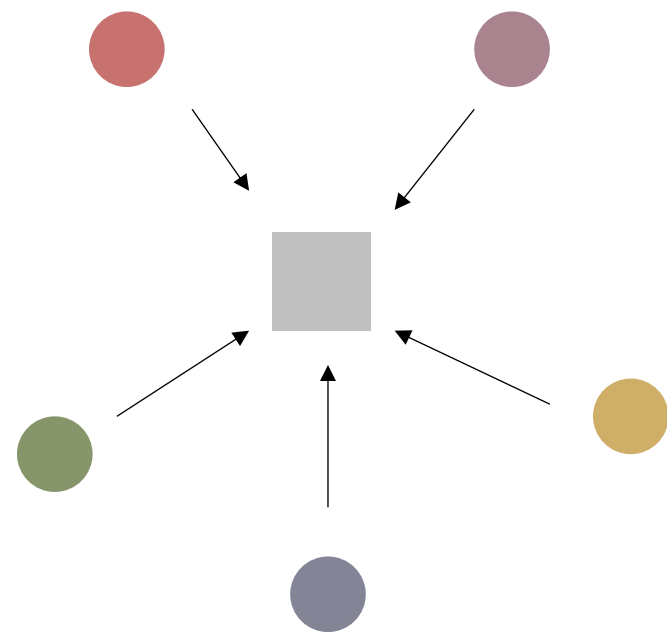


グラフの例

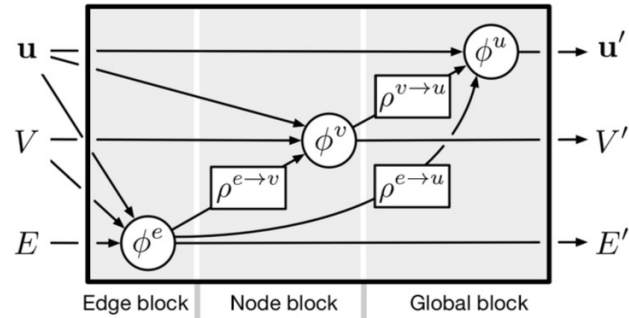




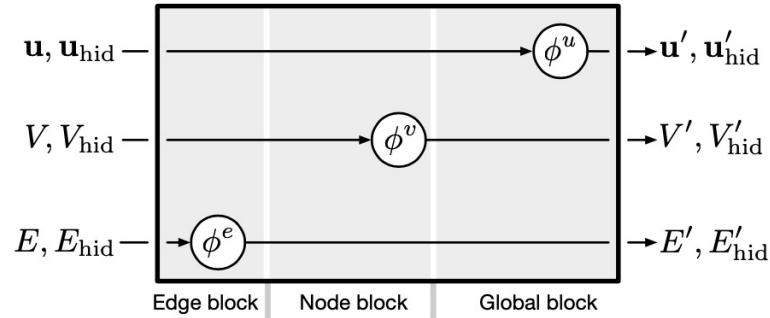
グラフの例



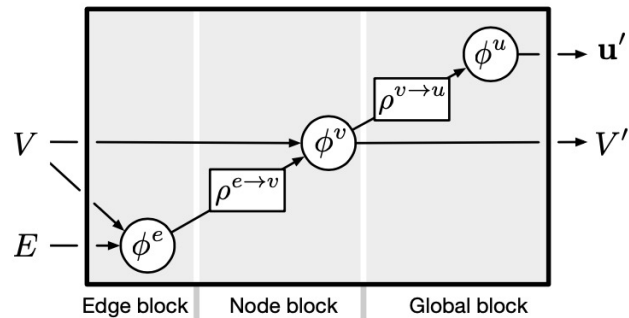
グラフネットワークの分類 [1806.01261](#)



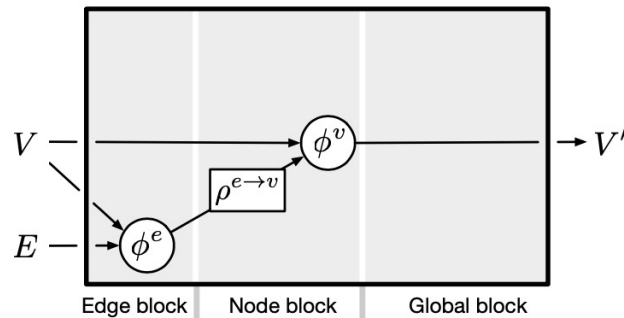
(a) Full GN block



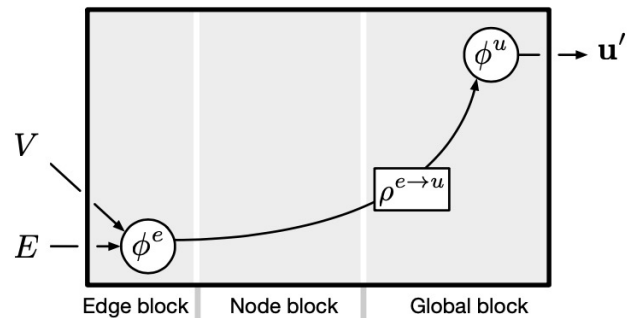
(b) Independent recurrent block



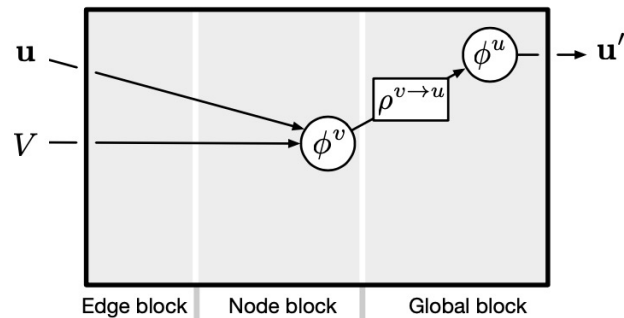
(c) Message-passing neural network



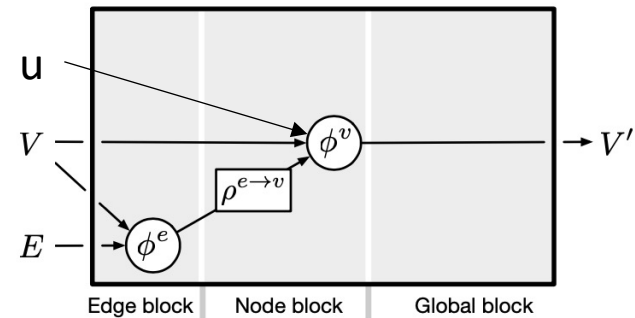
(d) Non-local neural network



(e) Relation network



(f) Deep set



Interaction Network

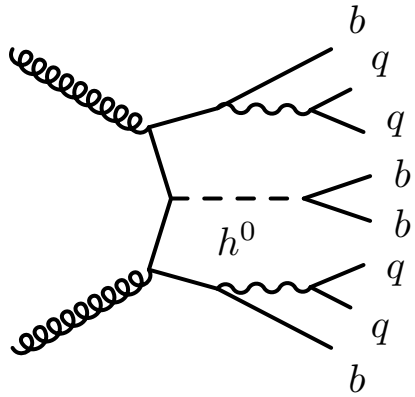
- 歴史的な経緯で色々な名前が付いている。
- 特に(HEPで)よく用いられるのは
 - Message-passing NN (MPNN)
 - Deep Set
- 実際のところ、境界は曖昧

グラフネットワークを用いた LHCシミュレーション・データでの イベント分類

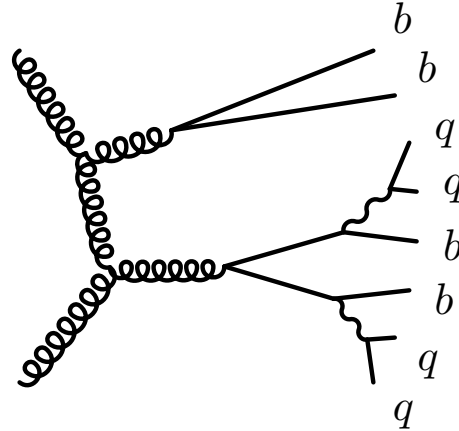
問題設定

信号事象と背景事象

信号事象
ttH(\rightarrow bb)



背景事象
ttbb



- 信号事象(ttH(\rightarrow bb))と背景事象(ttbb)の分類問題
- レプトンに崩壊しないチャンネルに着目
 - 4つのb-クォーク + 4つのライトクォーク
 - 8個のジェットが観測される
- 粒子数が多く、親粒子の再構成が難しい

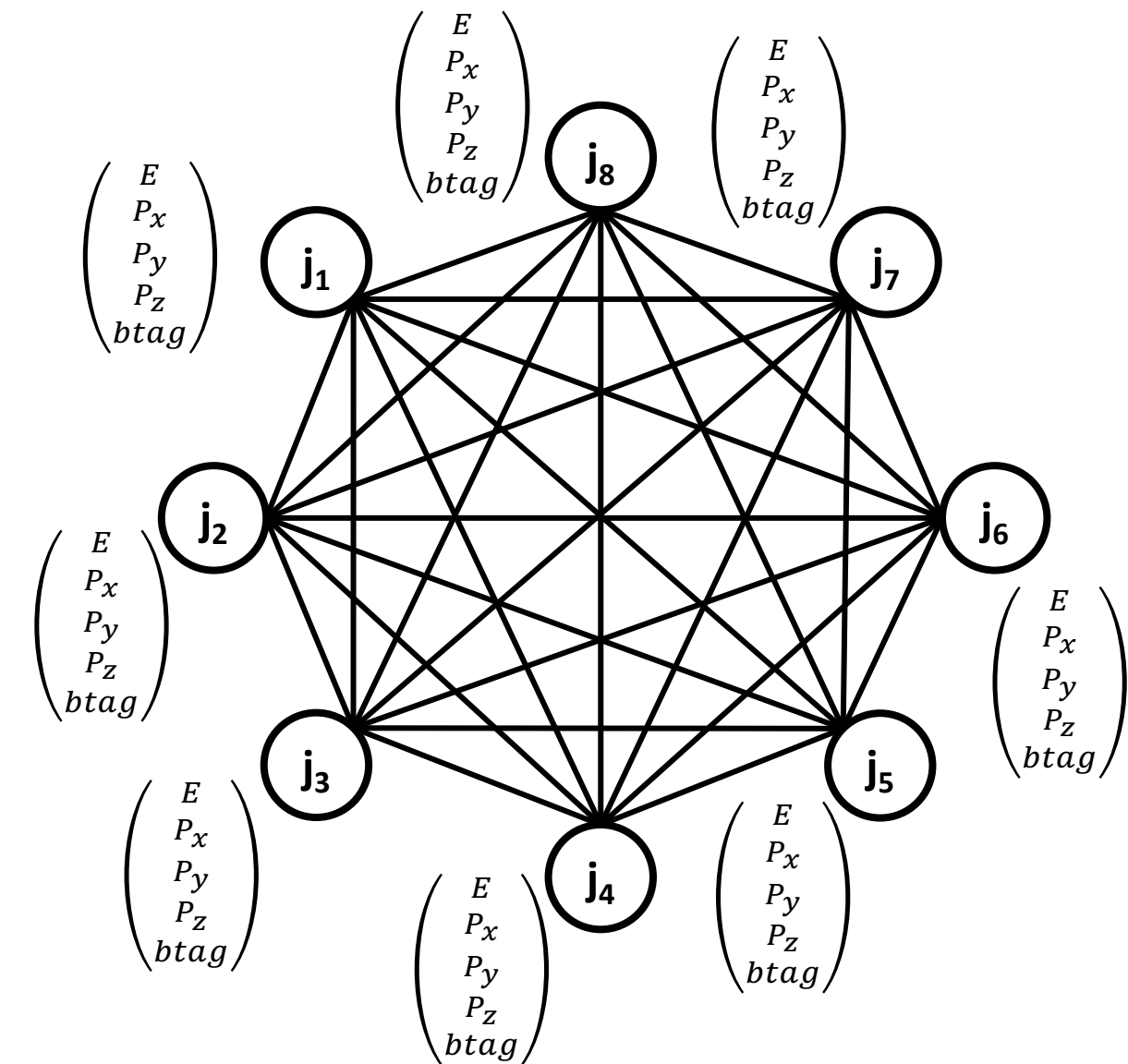
データセット

- シミュレーション・データセットを使用
 - MadGraph5 + Pythia8 + Delphes
 - ATLAS 検出器 のレスポンスを再現
- プロセスごとに100万事象を作成
 - 80% : 10% : 10%の割合で
Training/Validation/Test 用のサンプルに分割

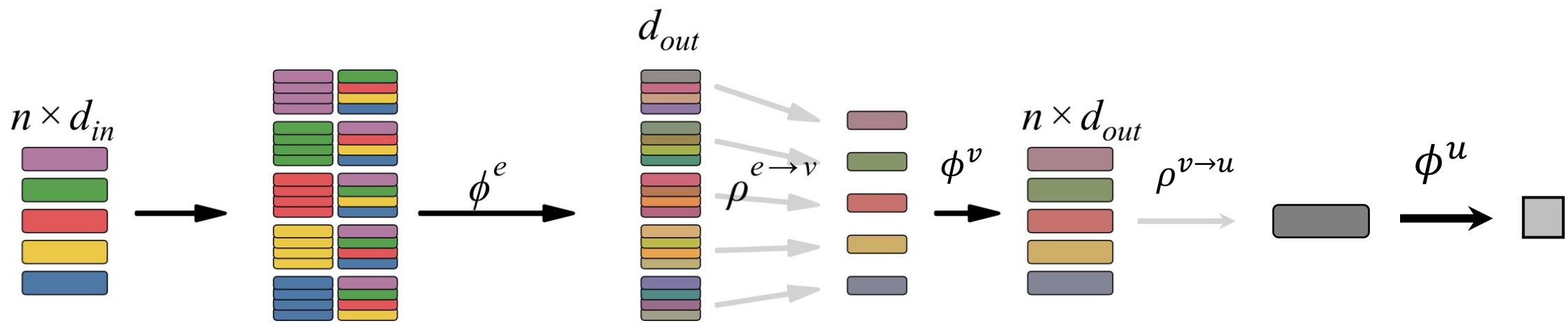
入力変数

- それぞれの粒子の4元運動量(p_x, p_y, p_z, E) + b-tag
- 8 (粒子数) x 5 (変数の数/粒子) = 40 変数

入力に使うグラフ



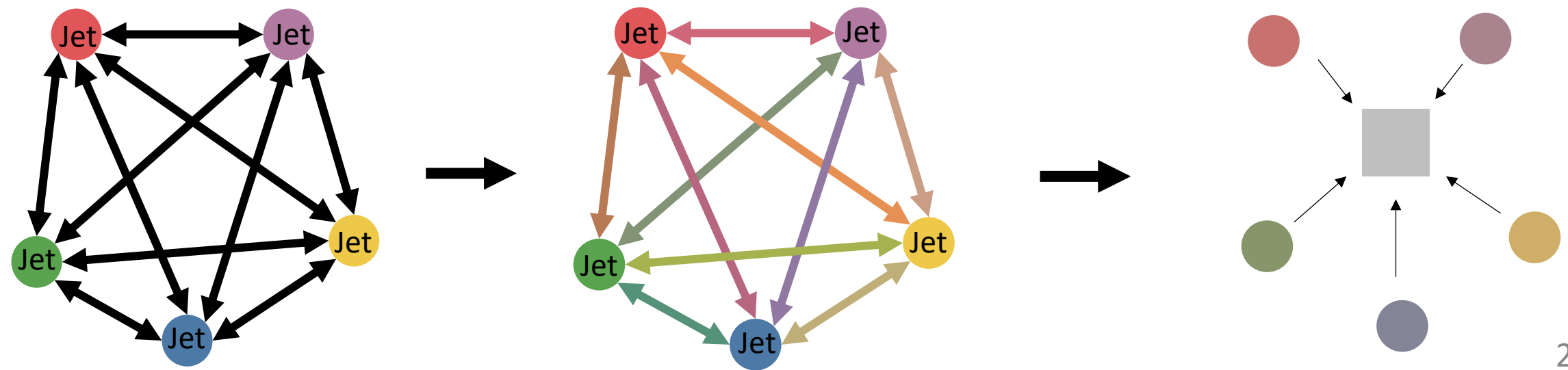
- 8個のジェットと、それぞれに対して5個の特徴量が入力値
- 各ジェットはノードとして割り当てる
 - ノード特徴量: $(E, p_x, p_y, p_z, b\text{-tag}) (\mathbb{R}^5)$
- 各ノードは他の全てのノードと接続する(全結合)
 - エッジ特徴量: \mathbb{R}^N
 - 2粒子間の関係を表す

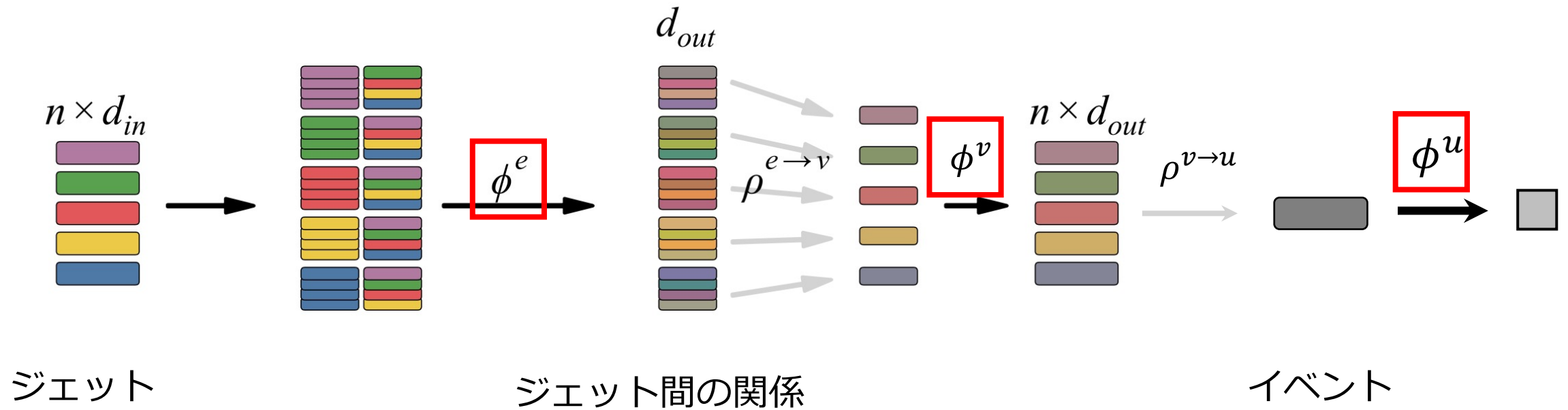


ジェット

ジェット間の関係

イベント





3つの MLP module (ϕ) を学習させる

各 MLP の構成

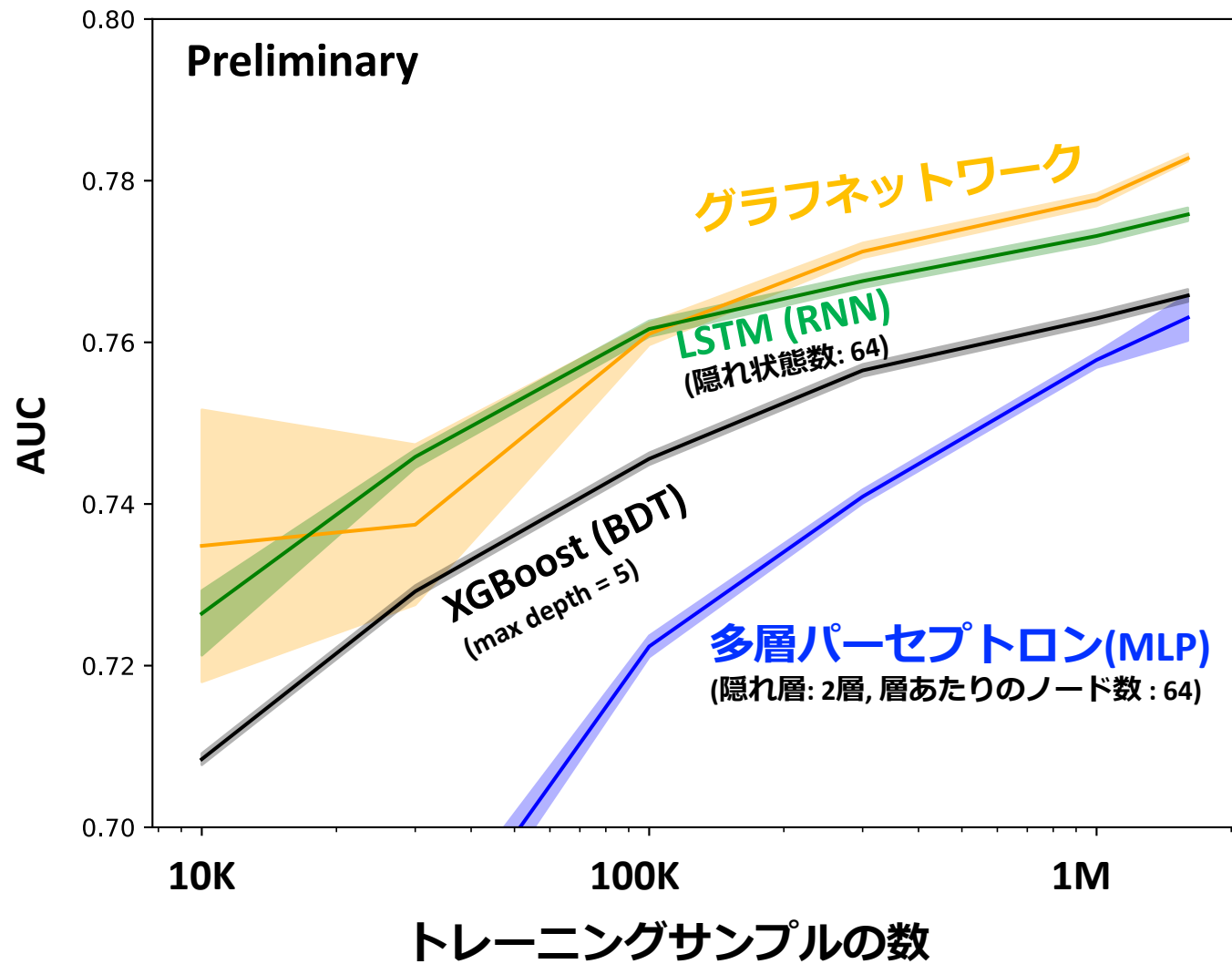
- ノード数が256の隠れ層を2層
- 活性化関数: ReLU (最後の出力のみsigmoid 関数)
- 全ての層に Batch normalization を適用

- ノード・エッジの特徴量のサイズや MLPのレイヤー構成等はAUCが最大になるように最適化

比較モデル

- 3つの機械学習モデルと比較
 1. Multilayer perceptron (MLP)
 - 変数40変数を1列に並べたものを入力とする
 - 隠れ層の数・ノード数を変えて最適化
 2. Long short-term memory (LSTM)
 - 粒子(5変数, 最大8個)を横運動量(p_T)順に並べてモデルに入力
 - 内部状態数を変えて最適化
 3. Boosted decision tree (BDT)
 - 変数40変数を1列に並べたものを入力とする
 - 木の深さを変えて最適化
 - [XGBoost](#) を使用
- それぞれのモデルについてAUCが最大になるようにハイパーパラメータを最適化。最も良い性能のもの同士でモデルを比較した

結果



- MLP, RNN, BDT と比較して、**グラフネットワーク**は良い性能
- サンプル数が多いところで最良の性能
- サンプルの数が少ないときにもMLPと比較して良い性能
 - 入力変数の構造を深層学習モデルに自然に取り込むことで、過学習を抑えた性能向上ができています

GNNのHEPでの応用例

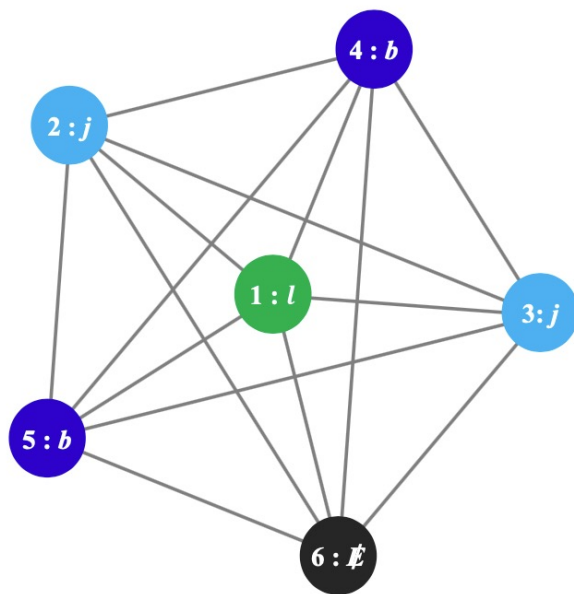
- ここでは、イベント分類で使われている例を紹介します
- [2007.13681](#) に多くの他の研究例があります

他のグラフネットワークをイベント分類に用いた研究例

グラフネットワークを用いたスカラートップ解析

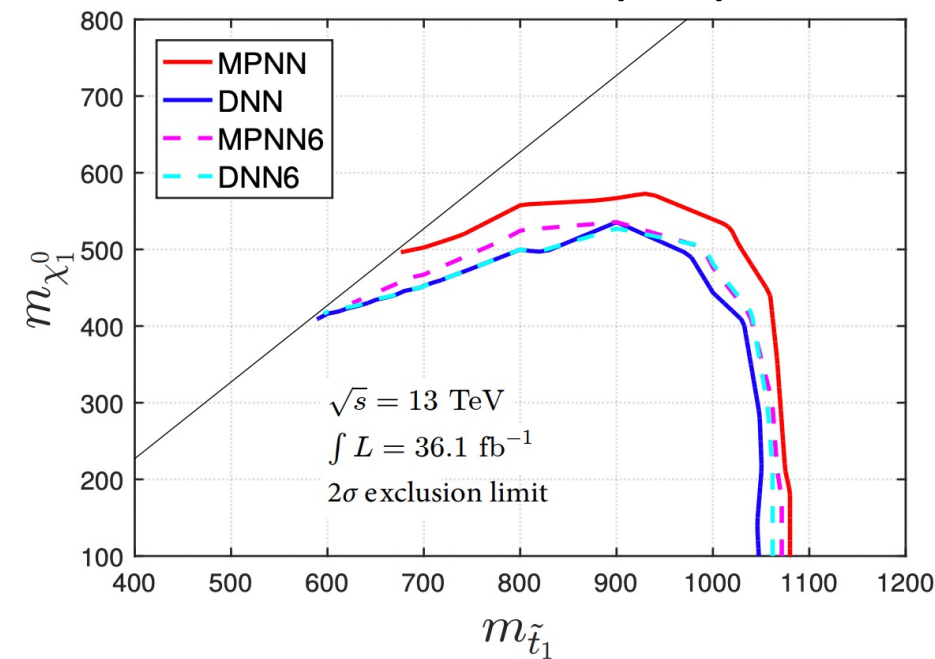
JHEP08(2019)055

$$\tilde{t}_1 \tilde{t}_1^* \rightarrow t \bar{t} \tilde{\chi}_1^0 \tilde{\chi}_1^0 \rightarrow 2b + 2j + \ell + E_T^{miss}$$



各粒子がノードに対応
- 特徴量: 粒子の種類, pT, E, 質量

GNN vs DNN (MLP)



Message Passing Neural Network (MPNN)

- 隣接ノードの値と粒子間の距離(ΔR)を用いてノードの値を更新する
- 更新を繰り返すことで、グラフ全体に情報を行き渡らせる
- 最後は、ノードの値の平均値を出すことで出力とする

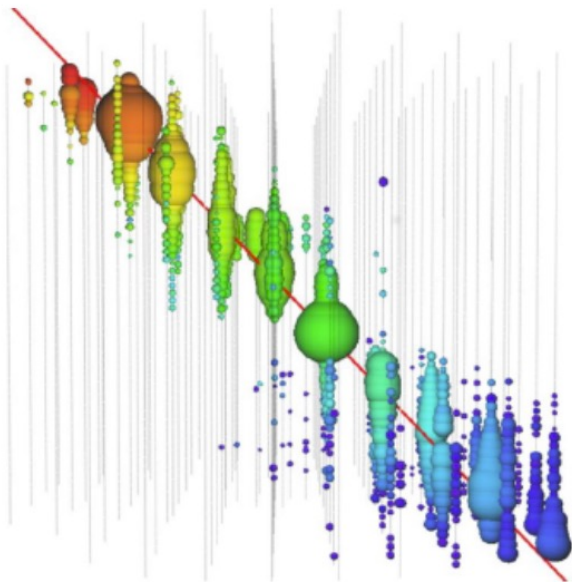
Graph Networkを使うことで、
MLPよりも良い性能

他のグラフネットワークをイベント分類に用いた研究例

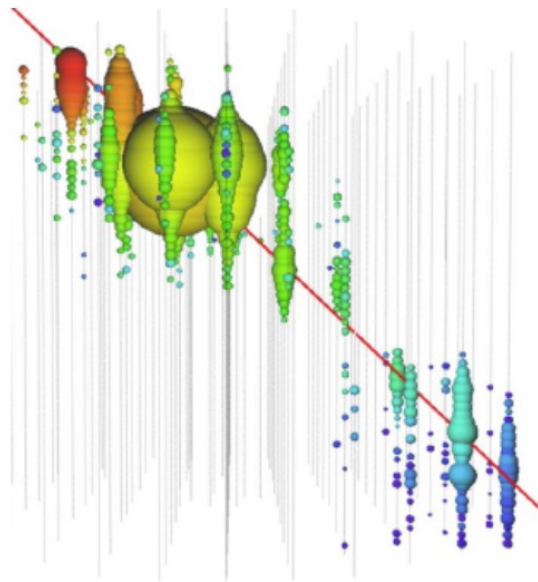
グラフネットワークを用いたIceCubeイベント解析

[1809.06166](#)

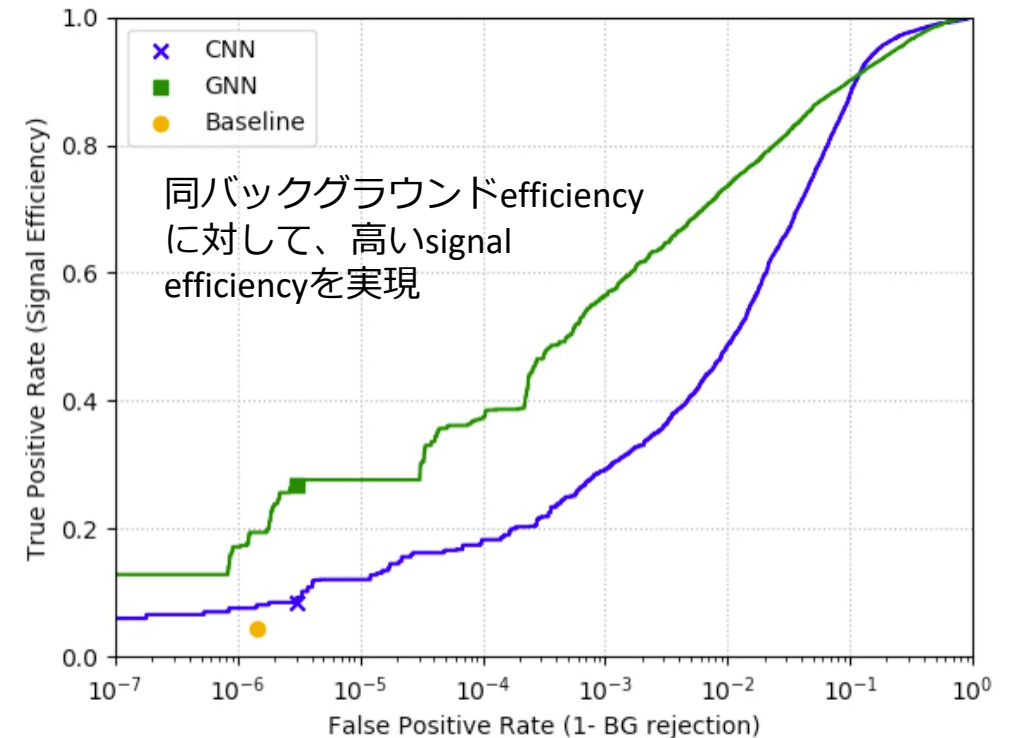
Background:
muon from cosmic shower



Signal:
muon from neutrino



GNN vs CNN



- センサー間の距離を基にグラフを定義
- 各センサーが各ノードに対応。特徴量はチャージ量など。
- 反応があるセンサーだけをノードにすることで、モデルサイズが削減
- グラフを用いることで、イレギュラーなジオメトリに対応

**Graph Networkを使うことで、
CNNよりも良い性能**

まとめ

- タスクの構造・**ドメイン知識**をモデルに組み込むことが、深層学習の性能向上に必要
- 扱う対象が**グラフ**である問題が多い
 - グラフネットワークはグラフを入力に扱う深層学習モデル
- **グラフネットワーク**を物理解析タスクに適用した
 - グラフネットワークの利点: 入力変数の構造化、可変の粒子数に対応、順序付けが不要
 - グラフネットワークの性能はMLPやBDTと比較して良い
- 実際に物理結果に使った例は(おそらく)まだないが、研究は多く進められている
 - これからの実用化に期待

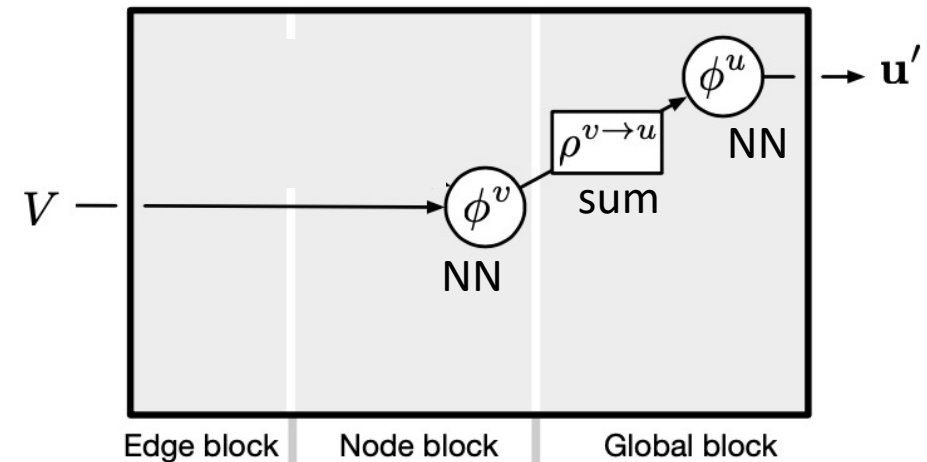
Backup

グラフネットワークのHEPでの応用例

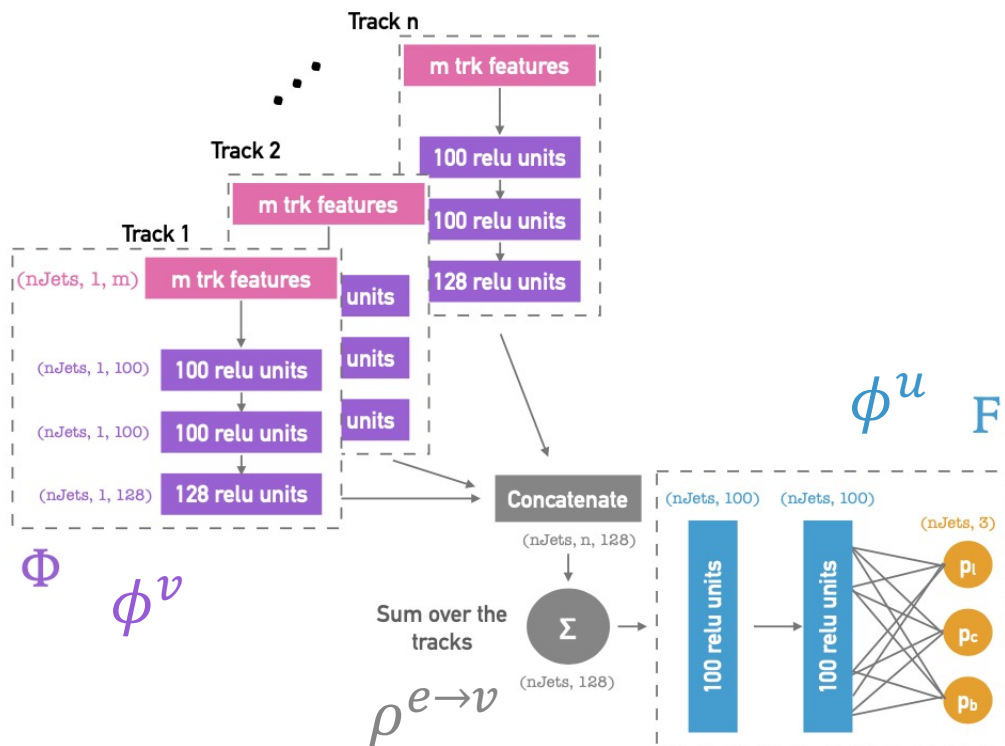
Deep Impact Parameter Sets (DIPS): [ATL-PHYS-PUB-2020-014](#)

- ジェット中のトラックを使ってb-tagging

| | | 対象 | 特徴量 (attribute) |
|----|-------|------|----------------------|
| 入力 | ノード | トラック | ヒット数, IP, 4-vector 等 |
| 出力 | グローバル | ラベル | b/c/l jet である確率 |



(f) Deep set



$$O(\{p_1, \dots, p_n\}) = F \left(\sum_{i=1}^n \Phi(p_i) \right),$$

NN で(トラックごとの)特徴量の作成

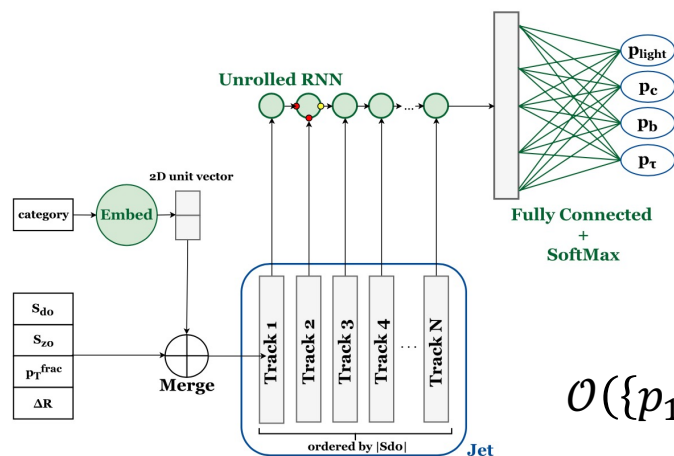
Aggregation

Global (フレーバーのラベル)のupdate

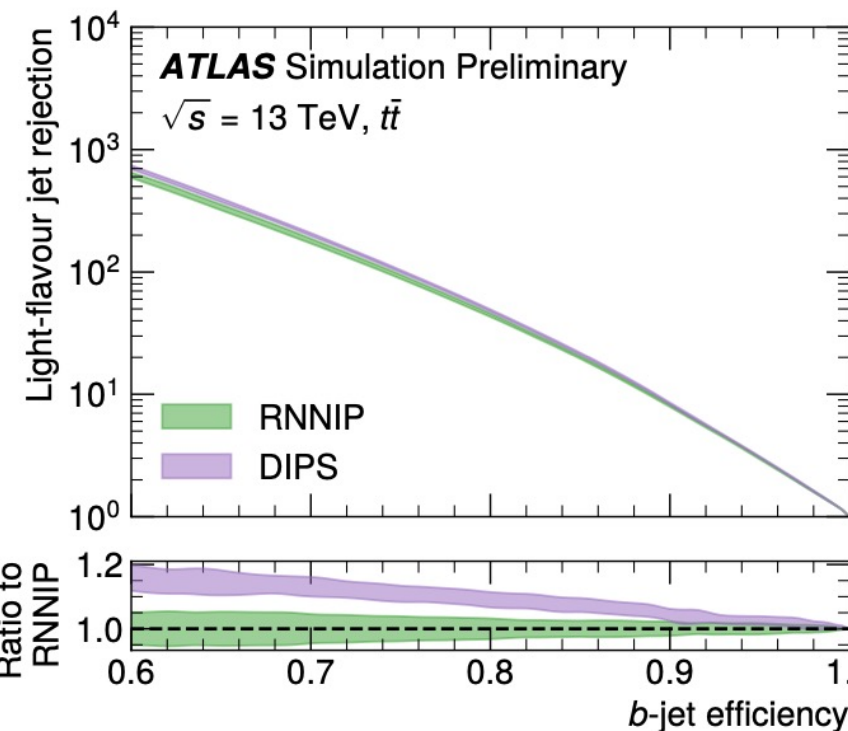
グラフネットワークのHEPでの応用例

Deep Impact Parameter Sets (DIPS): [ATL-PHYS-PUB-2020-014](#)

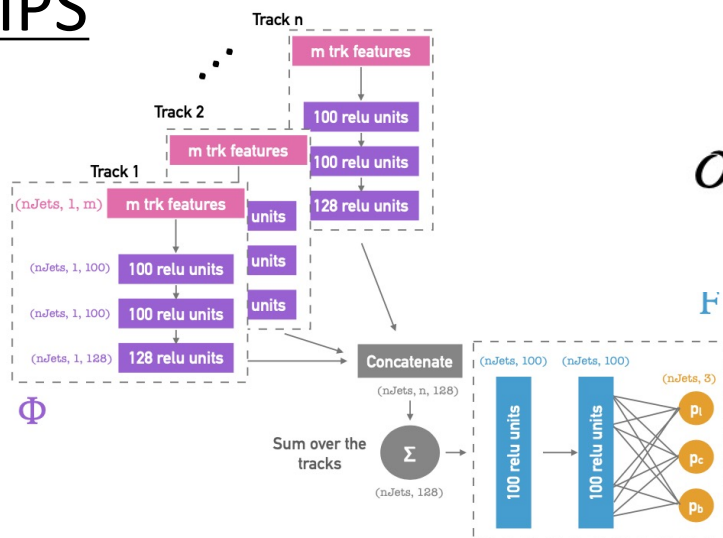
RNNIP



$$O(\{p_1, \dots, p_n\}) = F(\text{LSTM}(\{p_1, \dots, p_n\}))$$



DIPS



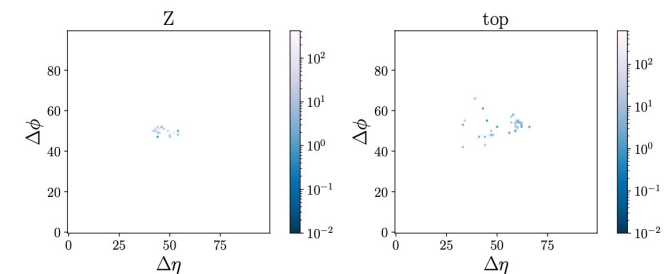
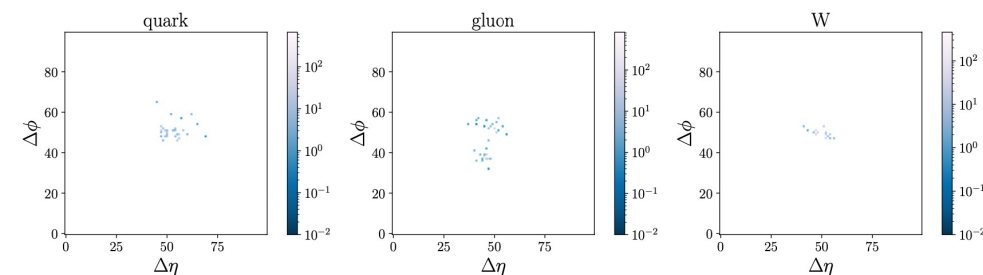
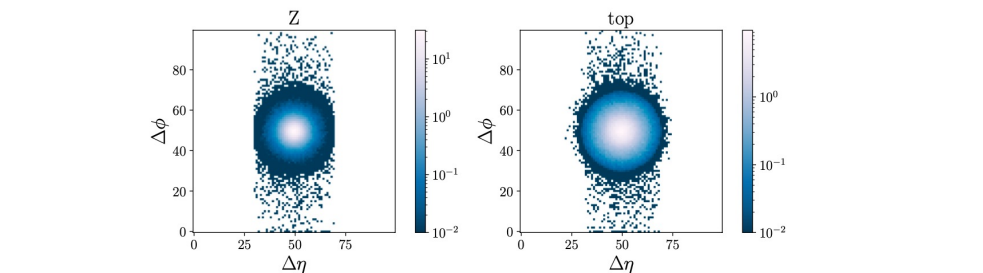
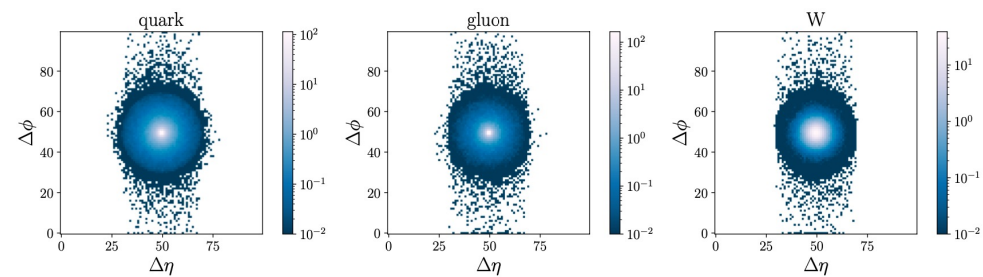
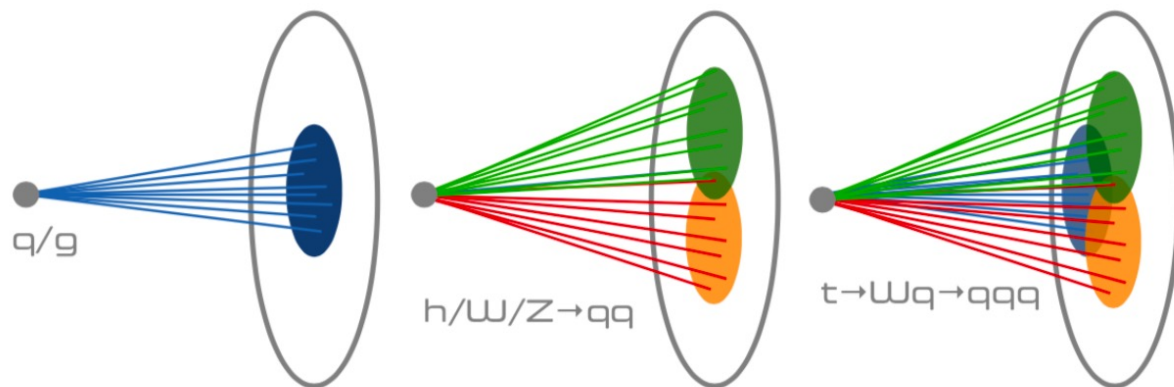
$$O(\{p_1, \dots, p_n\}) = F\left(\sum_{i=1}^n \Phi(p_i)\right),$$

グラフネットワークのHEPでの応用例

Interaction Network for jet tagging (JEDI-NET): [1908.05318](#)

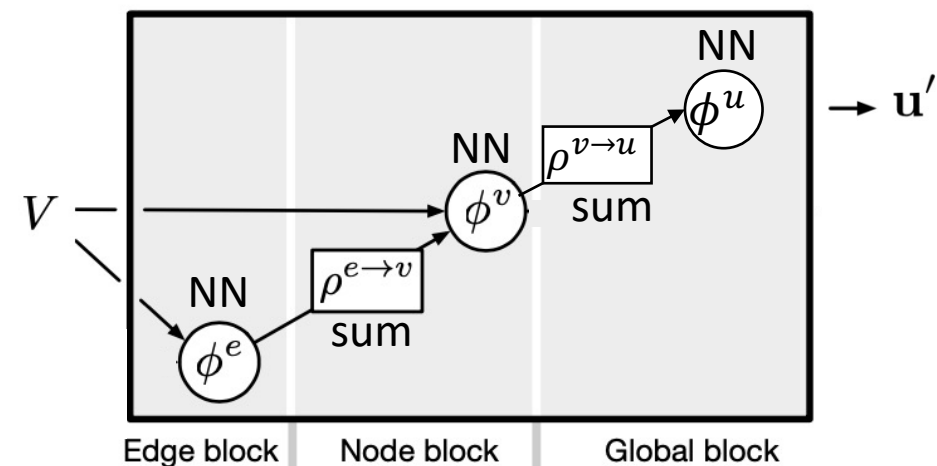
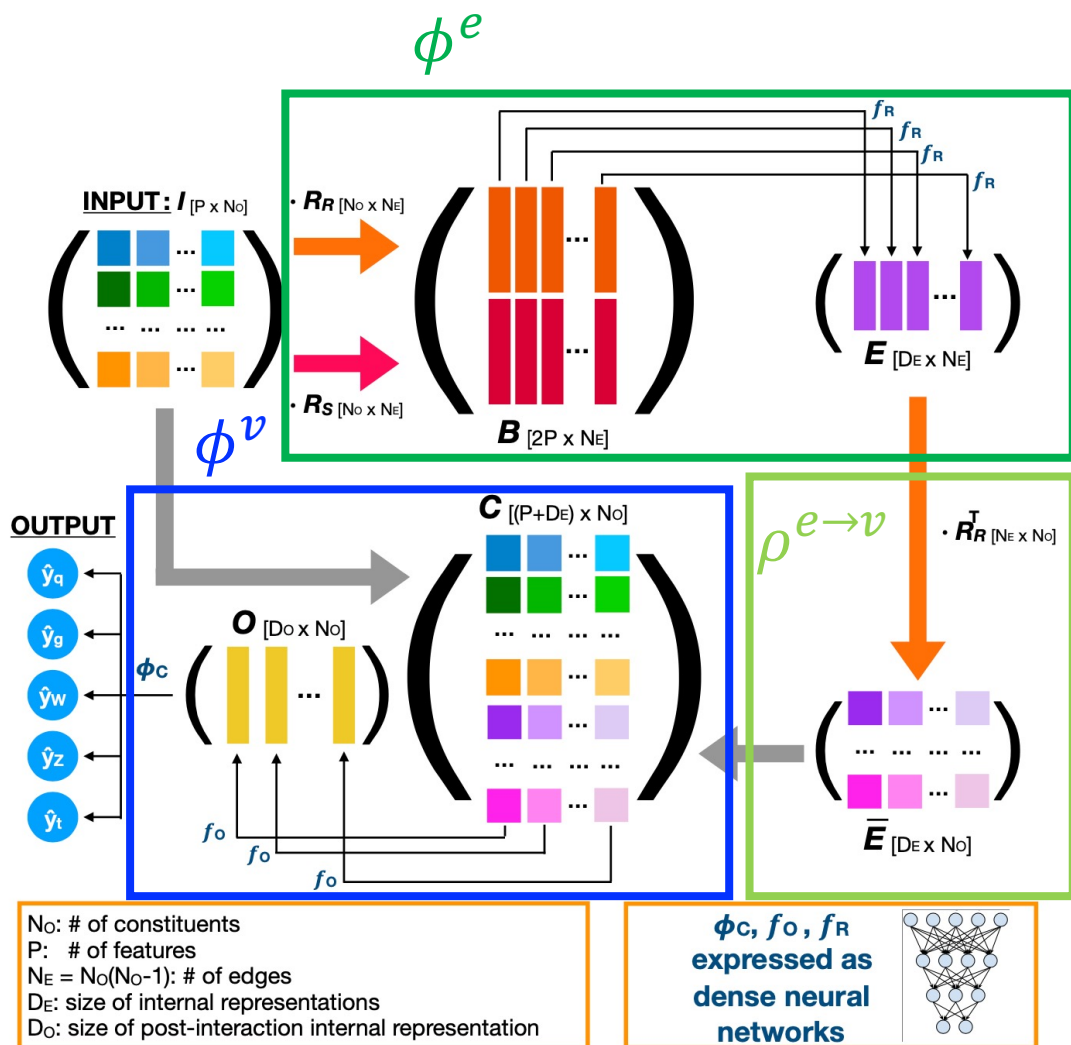
- Large-R Jet ($R=0.8$)中の粒子(最大150個)を使ってjet tagging

| | | 対象 | 特徴量 (attribute) |
|----|-------|-----|---|
| 入力 | ノード | 粒子 | 4-vector, $\Delta\eta$, $\Delta\phi$, rel pT, E 等 |
| 出力 | グローバル | ラベル | q/g/W/Z/t である確率 |



グラフネットワークのHEPでの応用例

Interaction Network for jet tagging (JEDI-NET): [1908.05318](https://arxiv.org/abs/1908.05318)



| Jet category | DNN | GRU | CNN | JEDI-net | JEDI-net with $\sum O$ |
|-----------------|-------------------------------------|-------------------|-------------------|-------------------------------------|-------------------------------------|
| TPR for FPR=10% | | | | | |
| gluon | 0.830 ± 0.002 | 0.740 ± 0.014 | 0.700 ± 0.008 | 0.878 ± 0.001 | 0.879 ± 0.001 |
| light quarks | 0.715 ± 0.002 | 0.746 ± 0.011 | 0.740 ± 0.003 | 0.822 ± 0.001 | 0.818 ± 0.001 |
| W boson | 0.855 ± 0.001 | 0.812 ± 0.035 | 0.760 ± 0.005 | 0.938 ± 0.001 | 0.927 ± 0.001 |
| Z boson | 0.833 ± 0.002 | 0.753 ± 0.036 | 0.721 ± 0.006 | 0.910 ± 0.001 | 0.903 ± 0.001 |
| top quark | 0.917 ± 0.001 | 0.867 ± 0.006 | 0.889 ± 0.001 | 0.930 ± 0.001 | 0.931 ± 0.001 |
| TPR for FPR=1% | | | | | |
| gluon | 0.420 ± 0.002 | 0.273 ± 0.018 | 0.257 ± 0.005 | 0.485 ± 0.001 | 0.482 ± 0.001 |
| light quarks | 0.178 ± 0.002 | 0.220 ± 0.037 | 0.254 ± 0.007 | 0.302 ± 0.001 | 0.301 ± 0.001 |
| W boson | 0.656 ± 0.002 | 0.249 ± 0.057 | 0.232 ± 0.006 | 0.704 ± 0.001 | 0.658 ± 0.001 |
| Z boson | 0.715 ± 0.001 | 0.386 ± 0.060 | 0.291 ± 0.005 | 0.769 ± 0.001 | 0.729 ± 0.001 |
| top quark | 0.651 ± 0.003 | 0.426 ± 0.020 | 0.504 ± 0.005 | 0.633 ± 0.001 | 0.632 ± 0.001 |

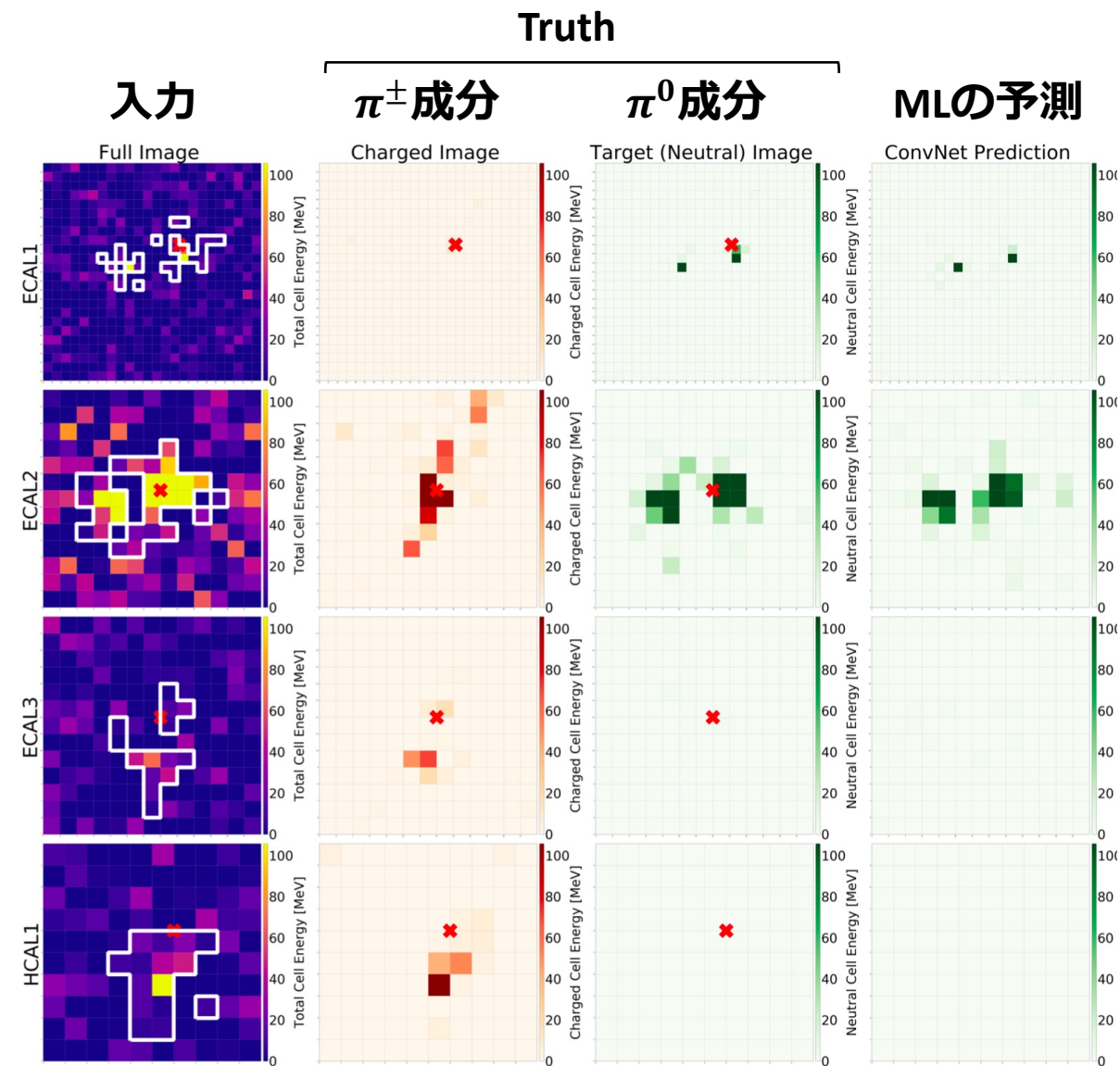
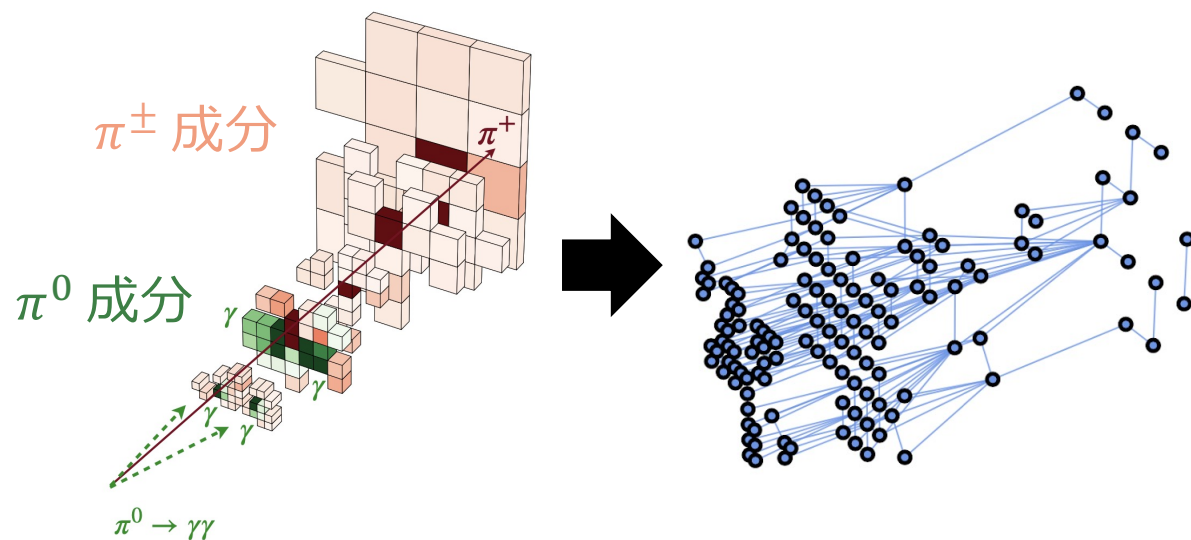
グラフネットワークのHEPでの応用例

EdgeConv for particle flow: [2003.08863](#), [2003.11603](#)

(EdgeConv: MPNNの一種([PointCloud](#), [ParticleNet](#)))

- トラック・カロリメータクラスターを使って
ジェット中の $\pi^\pm \cdot \pi^0$ の分離

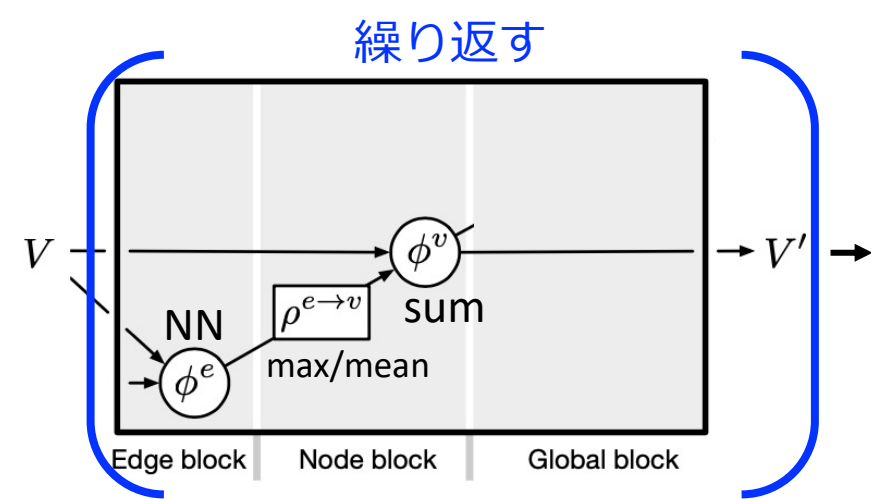
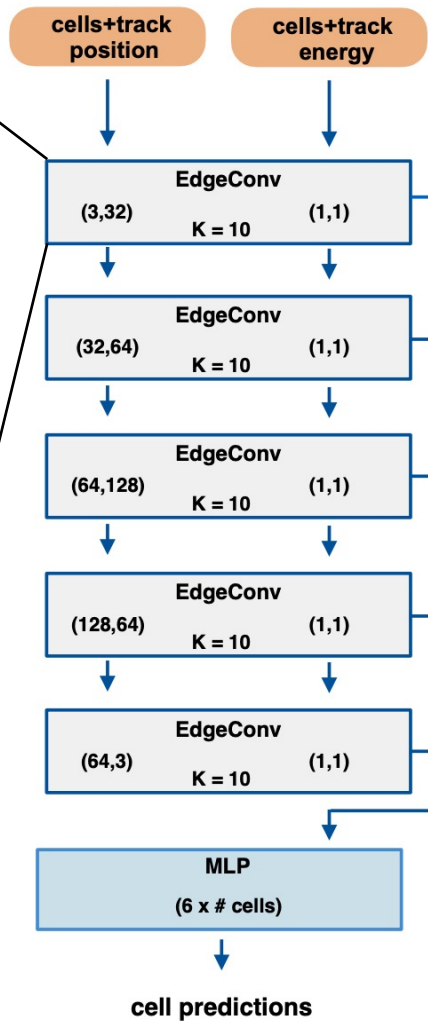
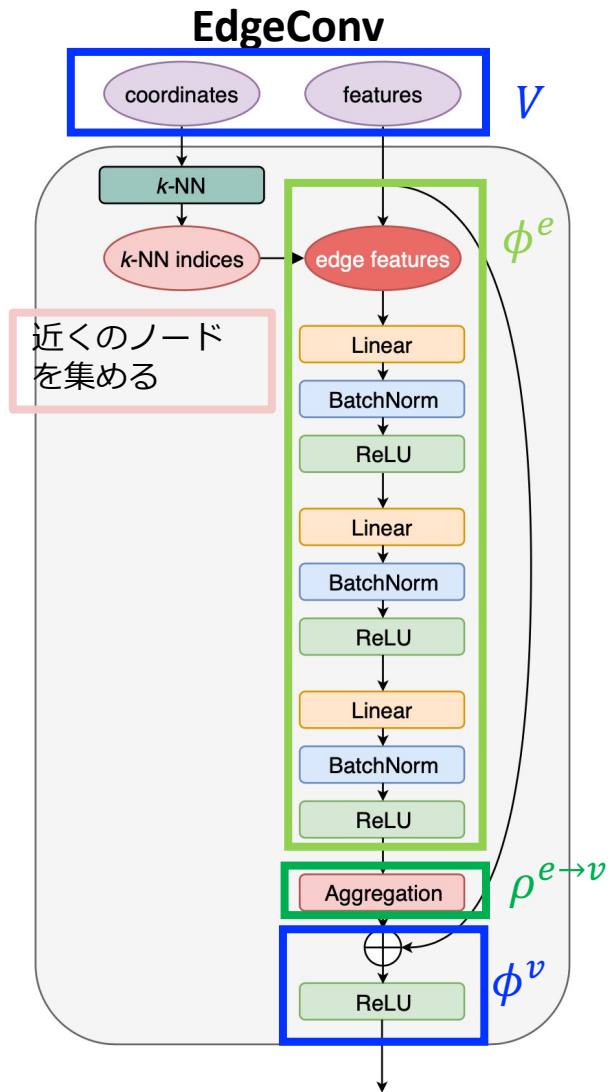
| | | 対象 | 特徴量 (attribute) |
|----|-----|-------------------|------------------|
| 入力 | ノード | トラック・Calo cluster | 位置・エネルギー |
| 出力 | ノード | 同上 | π^0 由来のエネルギー |



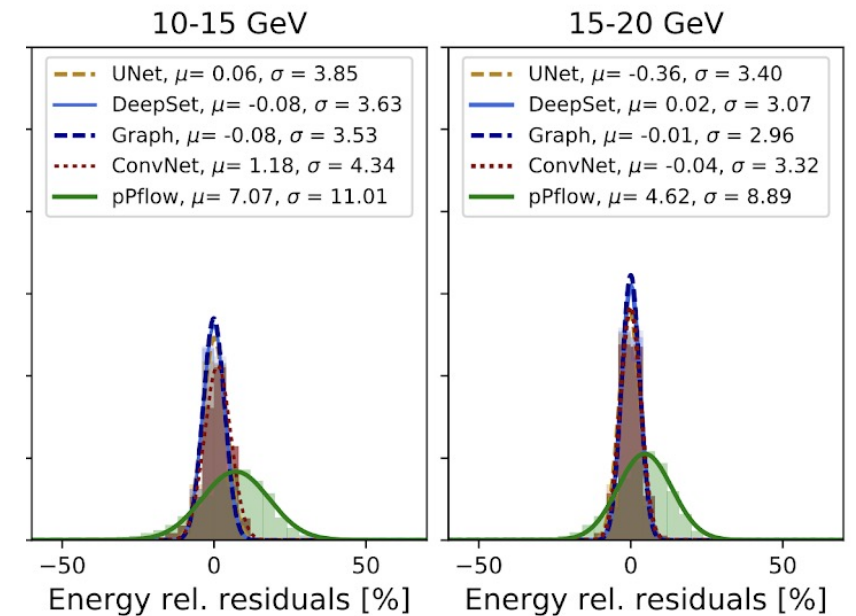
グラフネットワークのHEPでの応用例

EdgeConv for particle flow: [2003.08863](#), [2003.11603](#)

(EdgeConv: MPNNの一種([PointCloud](#), [ParticleNet](#)))



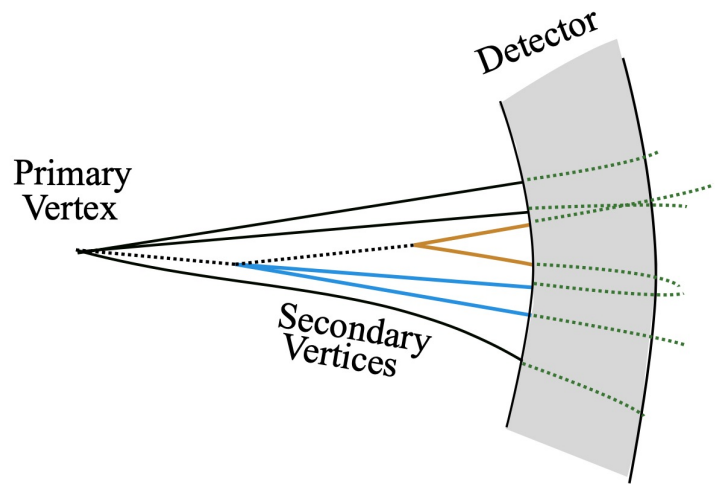
(c) Message-passing neural network



GNN > parametric model

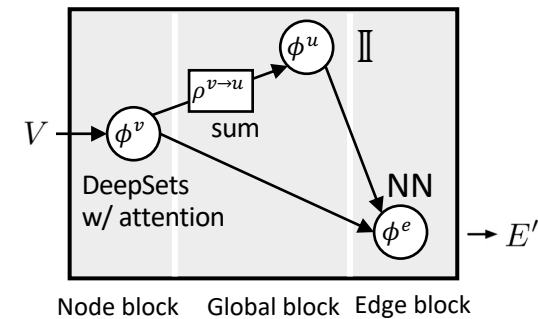
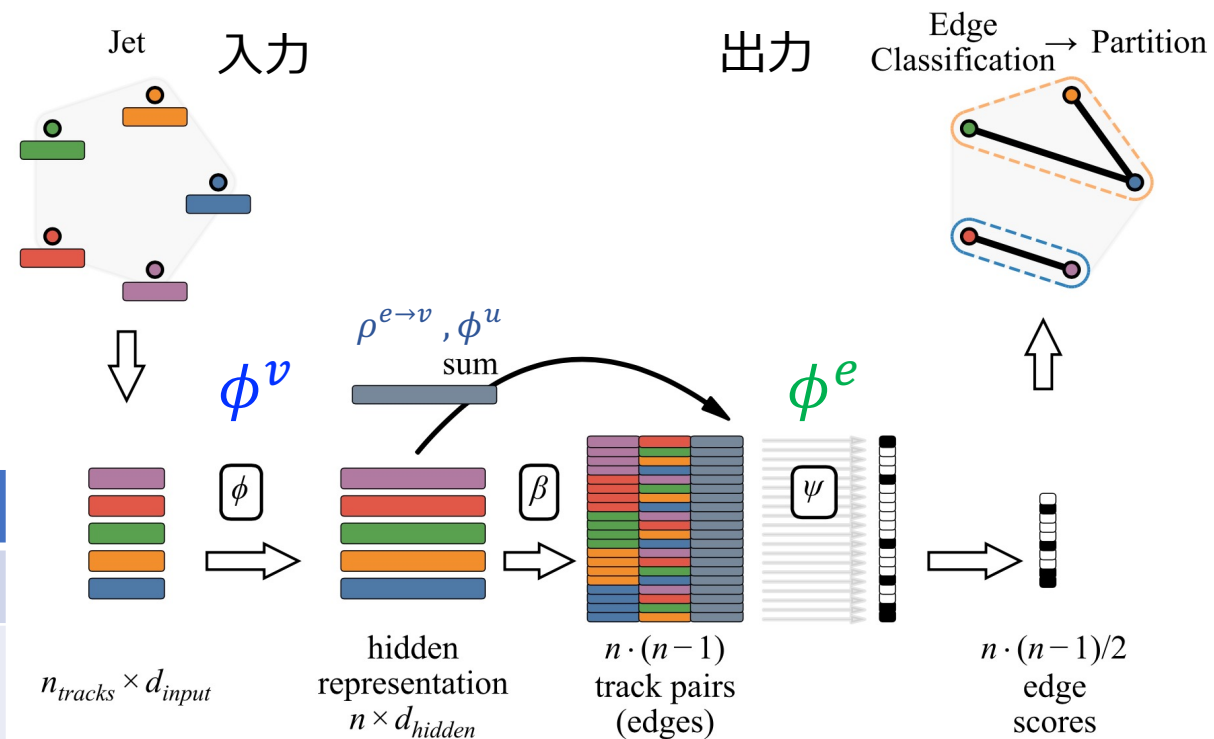
グラフネットワークのHEPでの応用例

Set-to-graph for secondary vertex finding: [2008.02831](#)



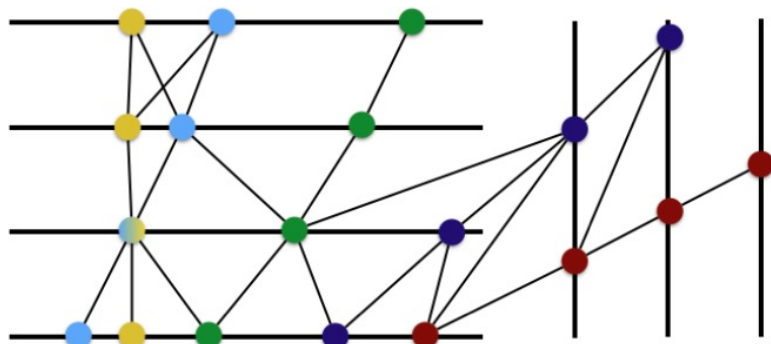
- ジェット中のトラックを primary vertex, secondary vertex に分類

| | | 対象 | 特徴量 (attribute) |
|----|-----|----------|-------------------------|
| 入力 | ノード | トラック | pT, eta, phi, d0, z0, q |
| 出力 | エッジ | トラック対の関係 | 同じvertex由来である確率 |



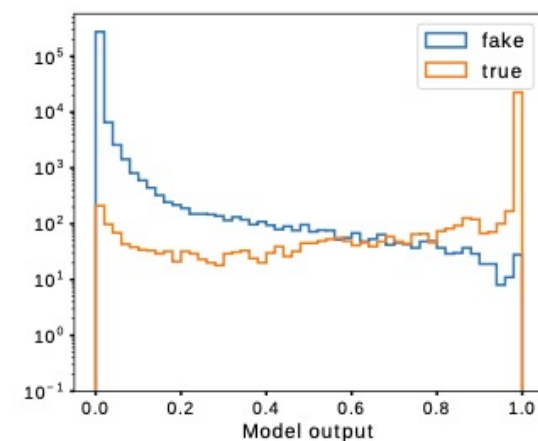
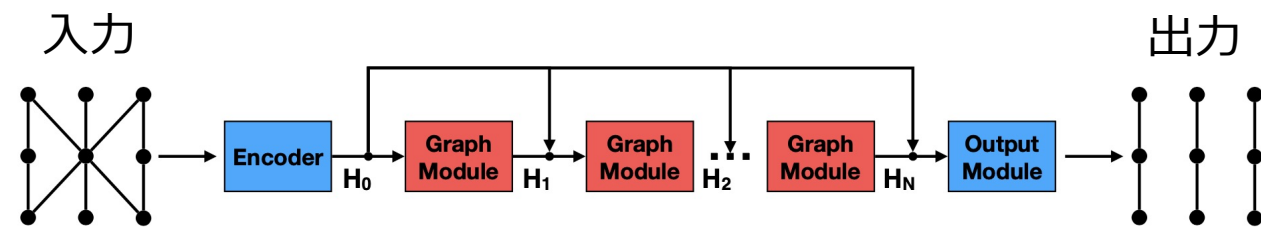
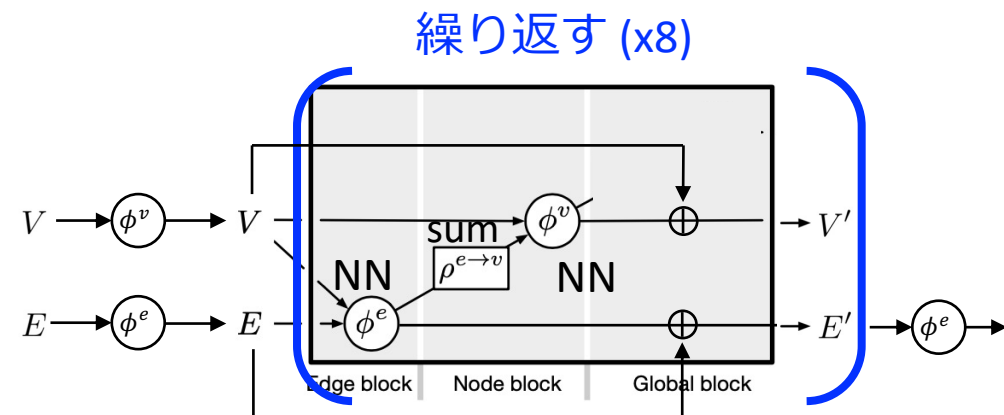
グラフネットワークのHEPでの応用例

GNN for Tracking: [2003.11603](#)



- ヒット(3次元の点)からトラックを再構成する

| | | 対象 | 特徴量 (attribute) |
|----|-----|--------|--------------------------|
| 入力 | ノード | ヒット | 位置(x, y, z) |
| | エッジ | ヒット間関係 | $\Delta\eta, \Delta\phi$ |
| 出力 | エッジ | 同上 | 同じ粒子由来である確率 |



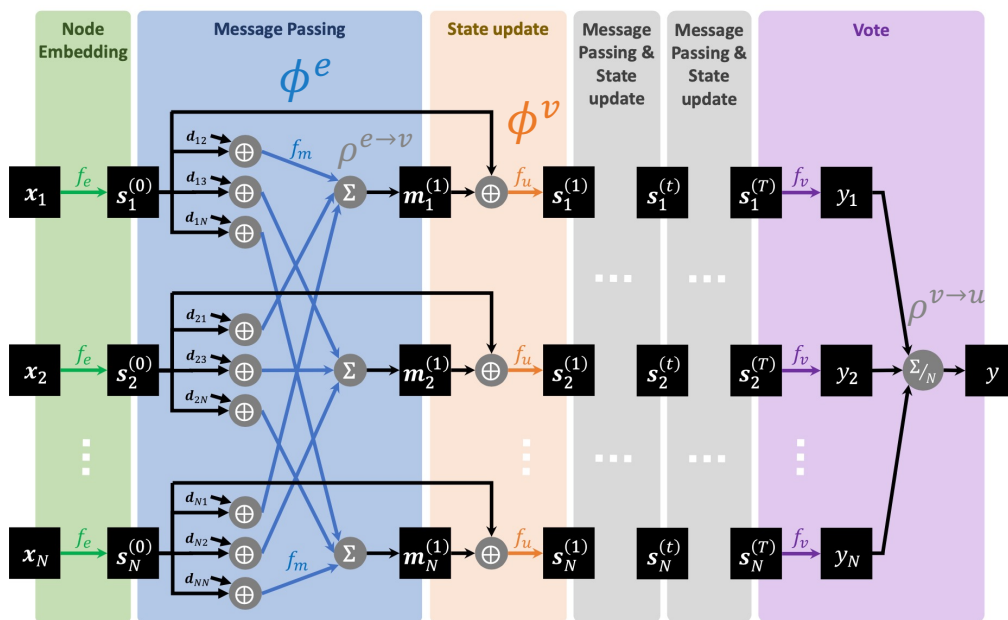
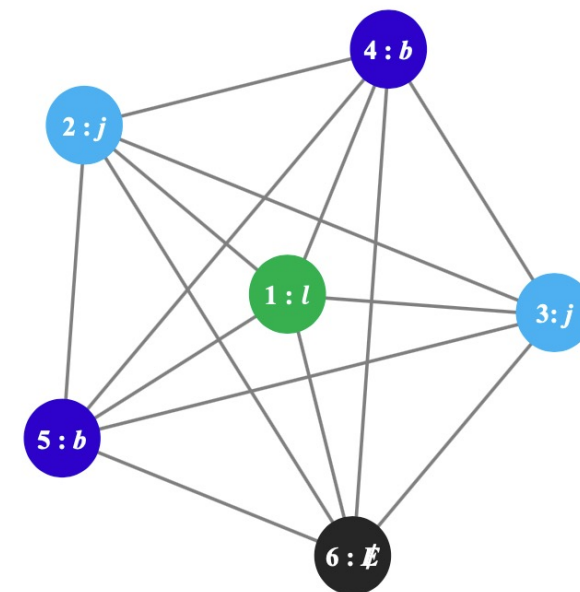
グラフネットワークのHEPでの応用例

$$\tilde{t}_1 \tilde{t}_1^* \rightarrow t \bar{t} \tilde{\chi}_1^0 \tilde{\chi}_1^0 \rightarrow 2b + 2j + \ell + E_T^{miss}$$

Message Passing Neural Network for stop search: [JHEP08\(2019\)055](#)

- Supersymmetric top 探索

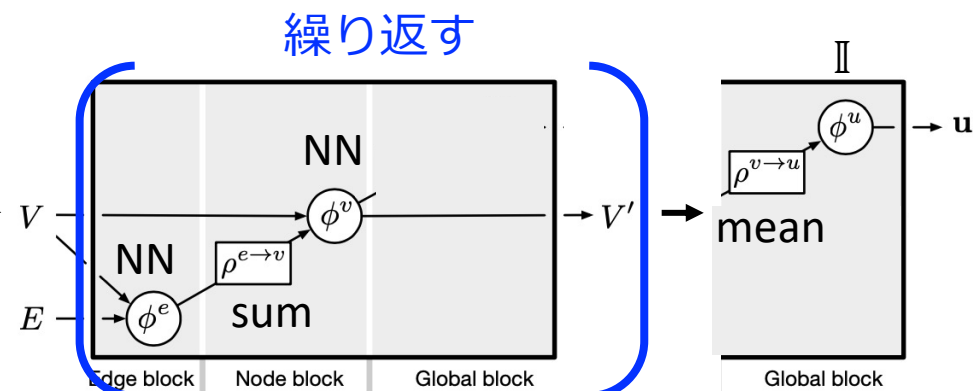
| | | 対象 | 特徴量 (attribute) |
|----|-------|-------|----------------------------------|
| 入力 | ノード | 粒子 | 粒子種類(jet, lepton, MET), 4-vector |
| | エッジ | 粒子間関係 | ΔR |
| 出力 | グローバル | ラベル | シグナルである確率 |



node embedding

$$\phi(\text{type}, pT, E, m) \rightarrow V$$

エッジは固定
(粒子間の ΔR)



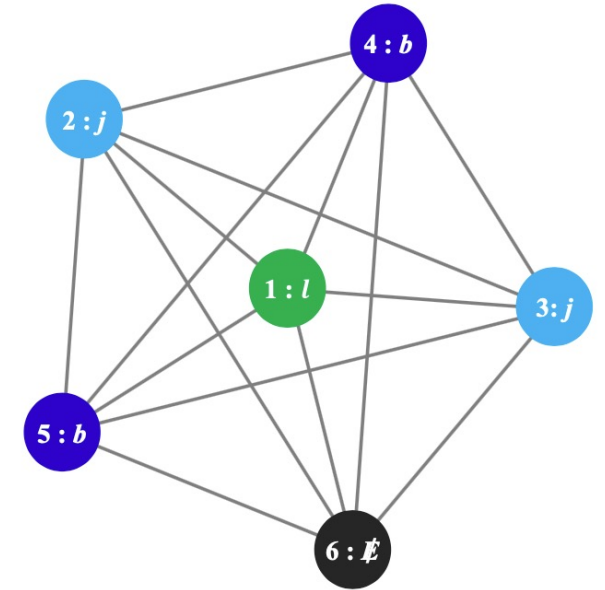
(c) Message-passing neural network

グラフネットワークのHEPでの応用例

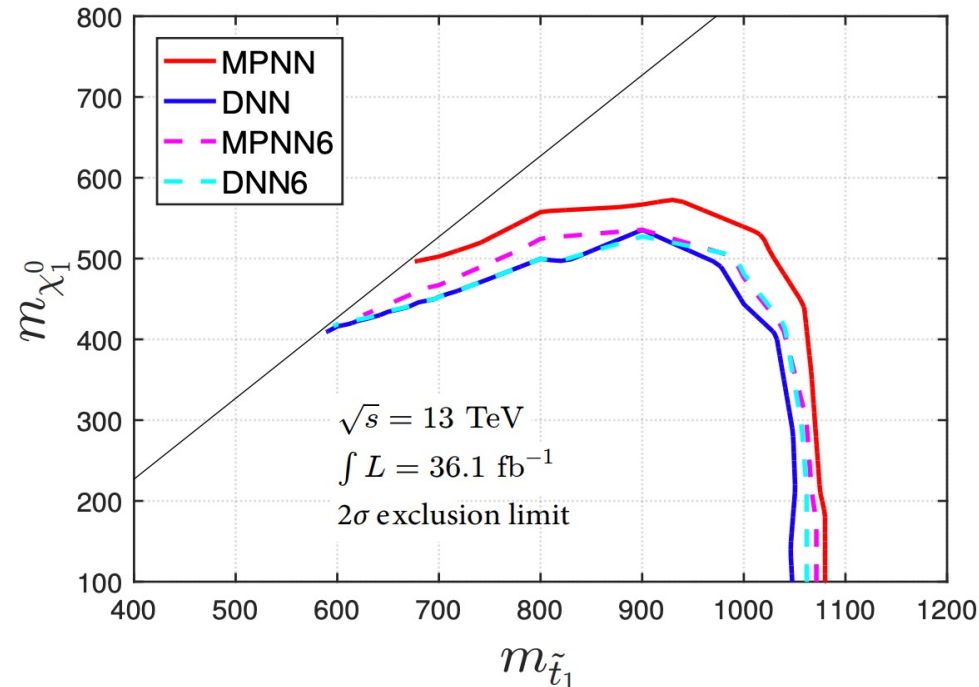
$$\tilde{t}_1 \tilde{t}_1^* \rightarrow t \bar{t} \tilde{\chi}_1^0 \tilde{\chi}_1^0 \rightarrow 2b + 2j + \ell + E_T^{miss}$$

Message Passing Neural Network for stop search: [JHEP08\(2019\)055](#)

- Supersymmetric top 探索
- 入力:
 - ノード: 粒子(Jet, lepton, MET, etc.). 粒子タイプや4-vectorが特徴量
 - エッジ: 粒子間の ΔR
- 出力:
 - グローバル: イベントがシグナルである確率



GNN vs DNN (MLP)



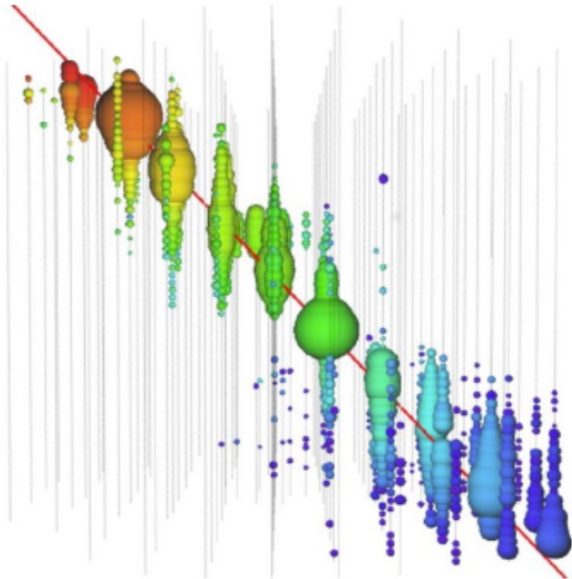
GNN > DNN

他のグラフネットワークをイベント分類に用いた研究例

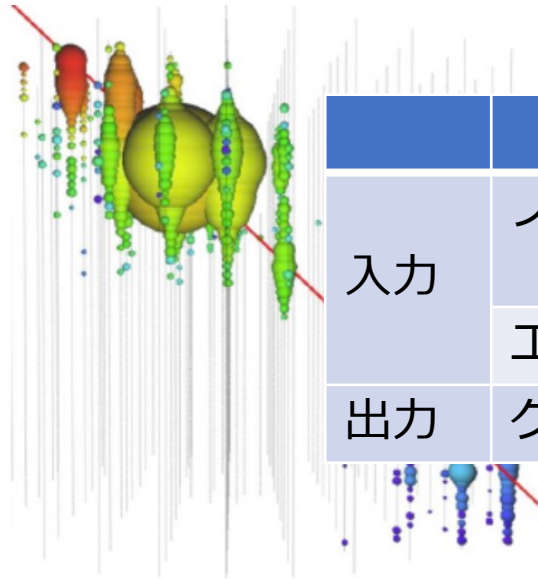
グラフネットワークを用いたIceCubeイベント解析

[1809.06166](#)

Background:
muon from cosmic shower



Signal:
muon from neutrino

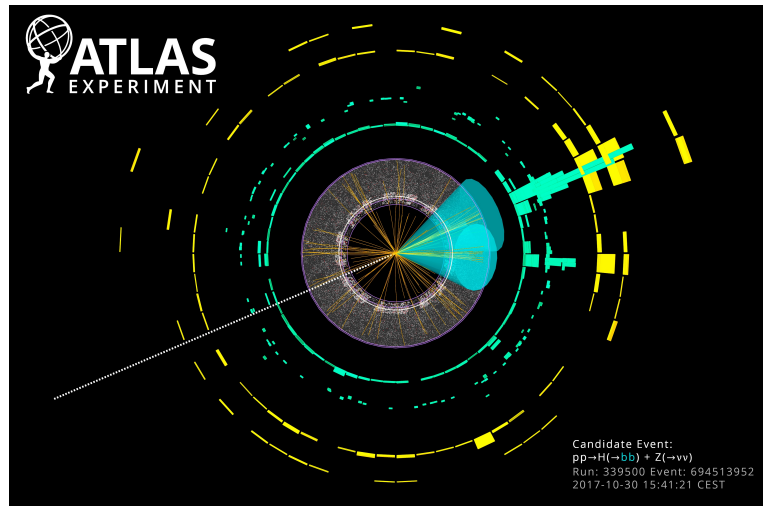


| | | 対象 | 特徴量 (attribute) |
|----|-------|---------|--------------------|
| 入力 | ノード | センサー | 位置、パルスの電荷量、パルス到達時間 |
| | エッジ | センサー間距離 | 3次元距離を基にした量 |
| 出力 | グローバル | ラベル | シグナルである確率 |

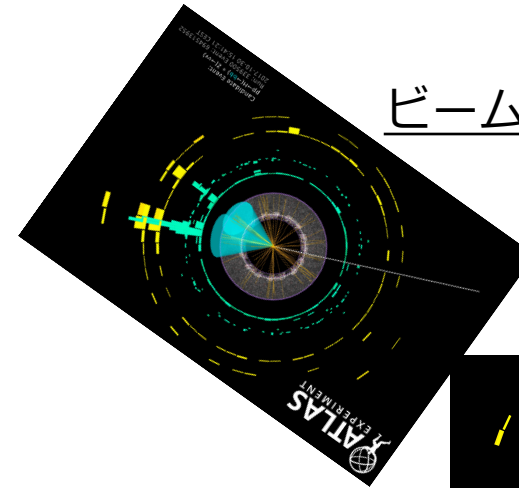
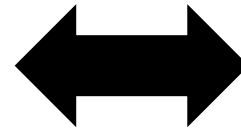
- センサー間の距離を基にグラフを定義
- 各センサーが各ノードに対応。特徴量はチャージ量など。
- 反応があるセンサーだけをノードにすることで、モデルサイズが削減
- グラフを用いることで、イレギュラーなジオメトリに対応

Data Augmentation

- ドメイン知識:
 - 物理法則や検出器は空間的な回転に対して不変である

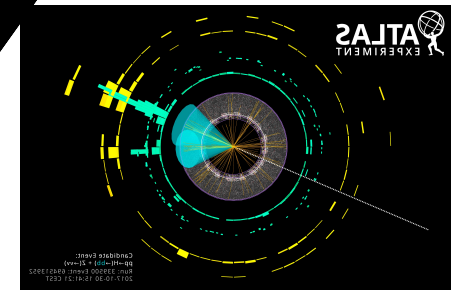


同じ確率で起こる

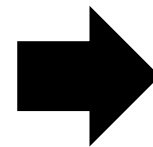


ビーム軸に対する回転

$p_z \leftrightarrow -p_z$

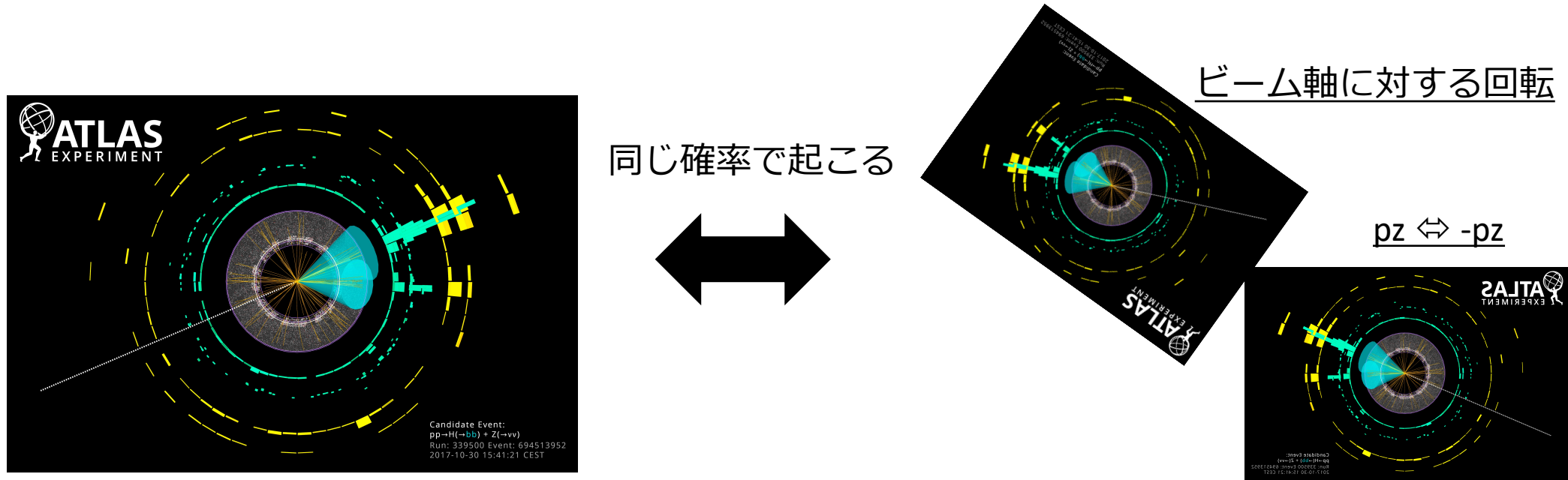


人間は画像を回転させても対象を見分けることができる



Data Augmentation

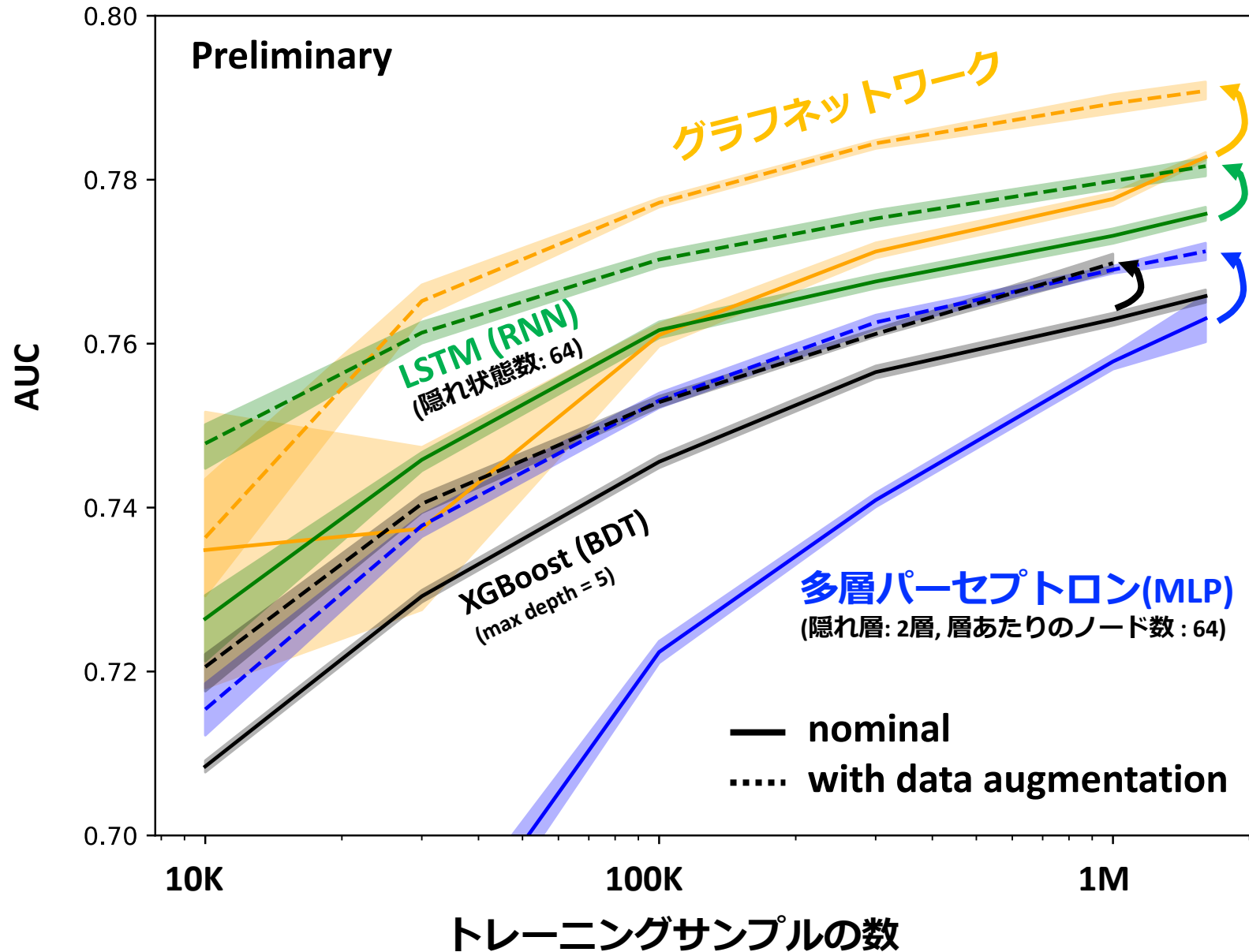
- ドメイン知識:
 - 物理法則や検出器は空間的な回転に対して不変である



画像認識分野におけるデータの水増し手法と同様に、各イベントの運動量を対称性に従ってランダムに変換し、モデルのトレーニングに使う

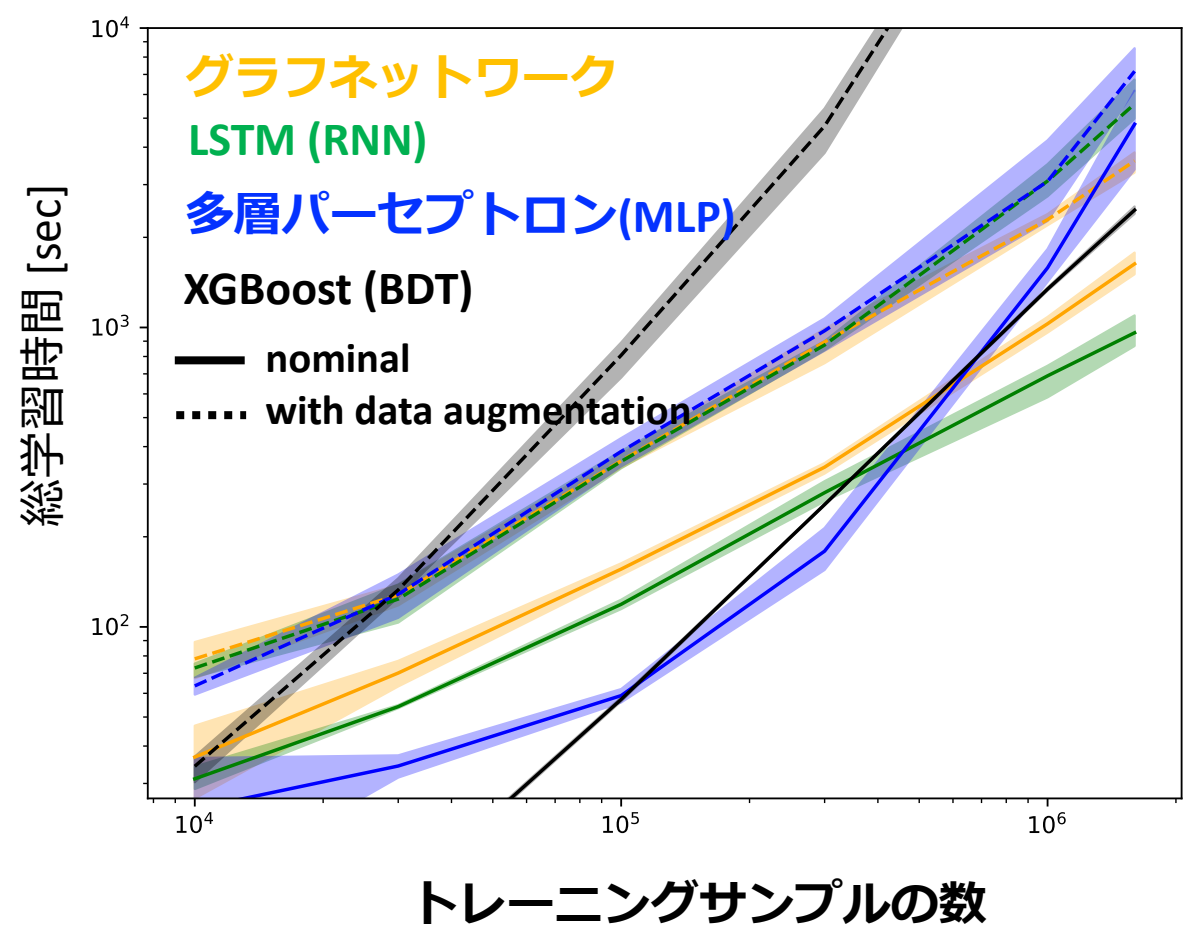
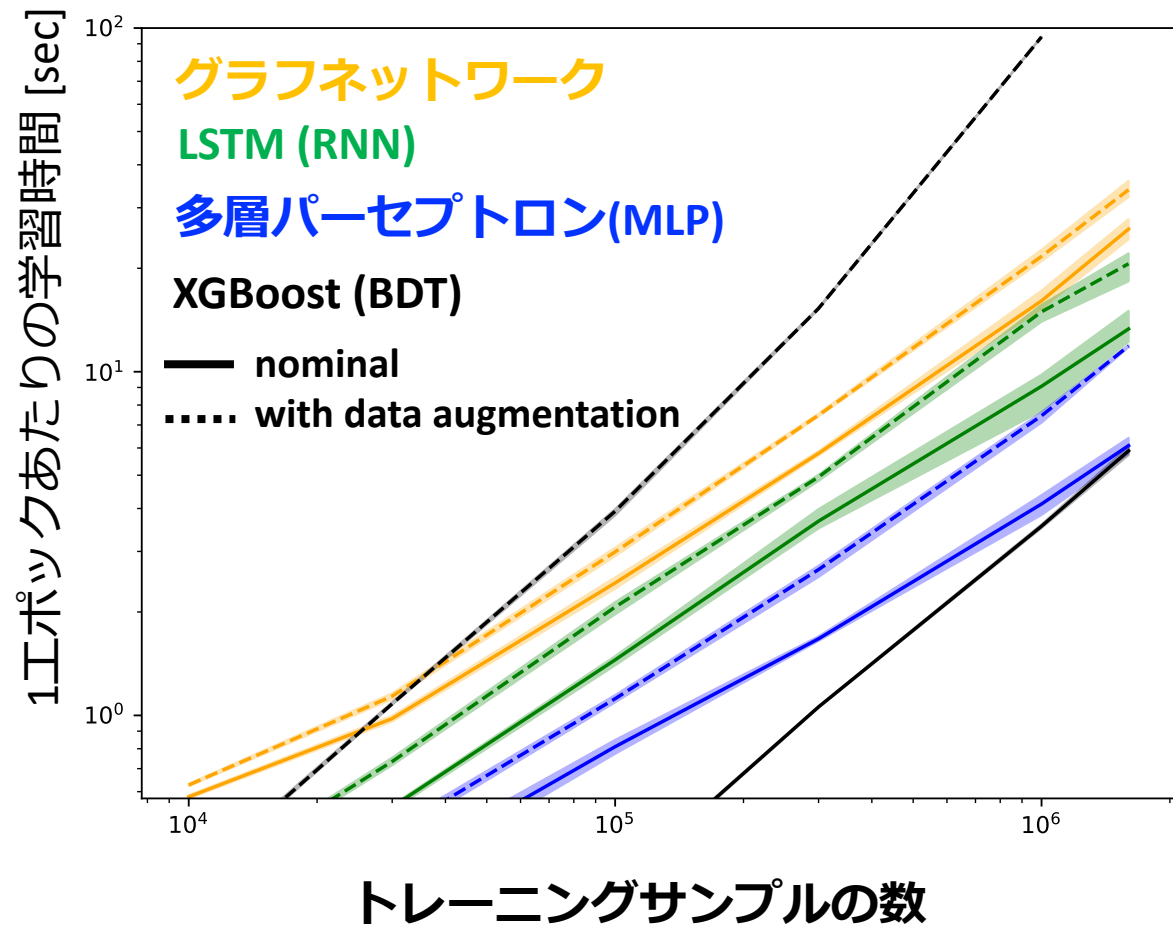
$$\begin{pmatrix} E \\ P_x \\ P_y \\ P_z \end{pmatrix} \rightarrow \begin{pmatrix} E \\ P_x \cos\theta - P_y \sin\theta \\ P_x \sin\theta + P_y \cos\theta \\ P_z \end{pmatrix} \quad \begin{pmatrix} E \\ P_x \\ P_y \\ P_z \end{pmatrix} \rightarrow \begin{pmatrix} E \\ \pm P_x \\ \pm P_y \\ \pm P_z \end{pmatrix}$$

結果 with data augmentation



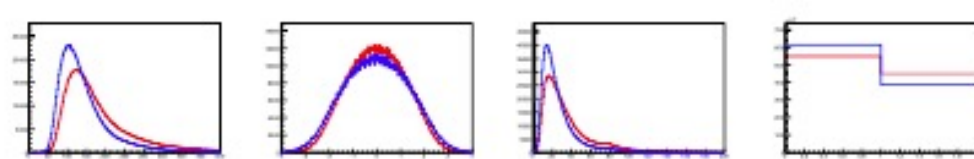
- データの水増しは物理解析においても非常に有効
 - データ量が実効的に増加
 - 過学習を抑制
 - トレーニングサンプル数が少ないときのMLPで顕著

各モデルの学習時間

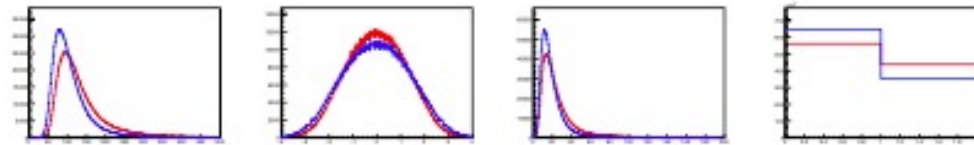


- 学習にはTesla V100 を使用

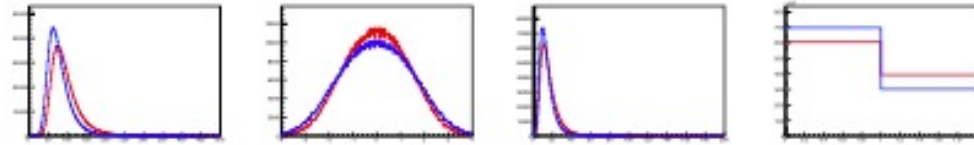
入力変数の分布



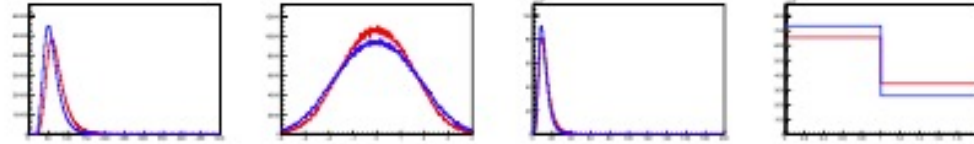
(a) p_T (b) η (c) Mass (d) B-tag



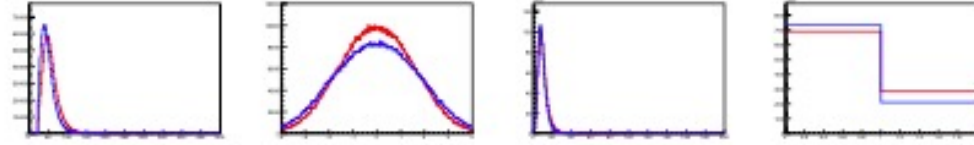
(e) p_T (f) η (g) Mass (h) B-tag



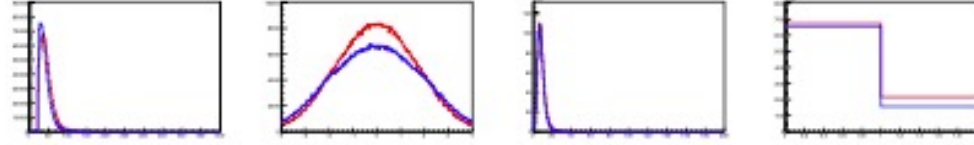
(i) p_T (j) η (k) Mass (l) B-tag



(m) p_T (n) η (o) Mass (p) B-tag



(q) p_T (r) η (s) Mass (t) B-tag



(u) p_T (v) η (w) Mass (x) B-tag